

千葉大での研究内容

1. ^{90}Sr Counter 開発研究
2. J-PARC E36 実験

2017. 10. 03
伊藤博士

1. ^{90}Sr Counter 開発研究

1. ^{90}Sr Counter 開発研究

背景

- 福島原発後、福島漁業が未だ再開しない、原因の一つは ^{90}Sr
- ^{90}Sr は骨に蓄積するため ^{137}Cs と比較して摂取は危険
- 新鮮な海産物の短時間での ^{90}Sr 放射能濃度測定が要求

目的

- 1時間で数十Bq/kgの ^{90}Sr を測定するために低バックグラウンド
- ^{40}K からの β 線や宇宙線 μ 由来の雑音を抑制
- 大面積の有効面積

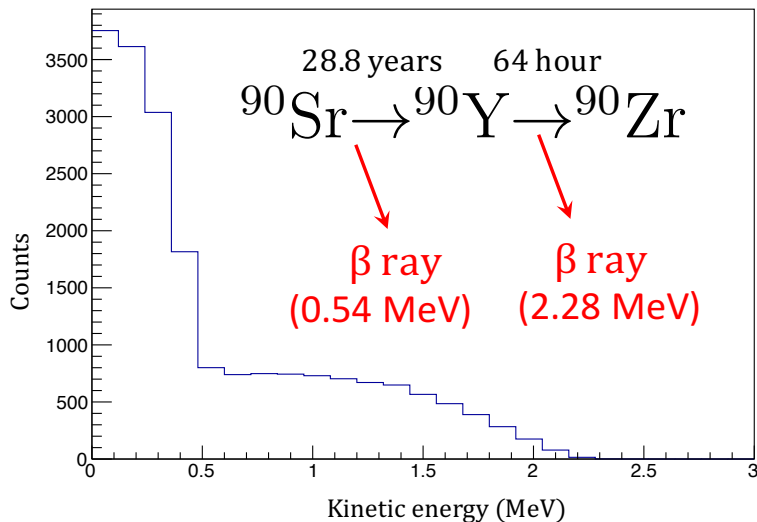


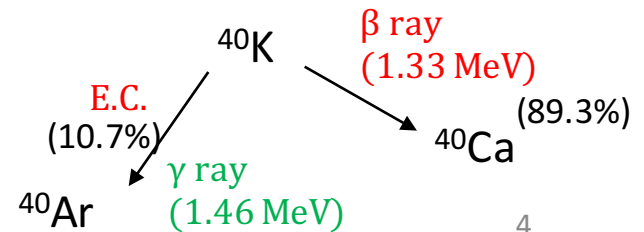
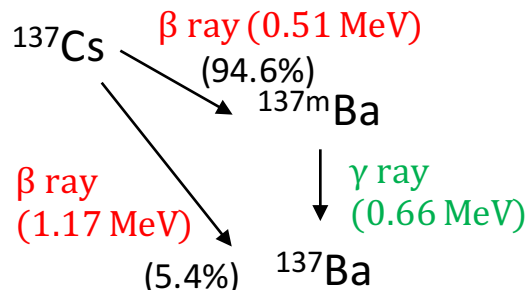
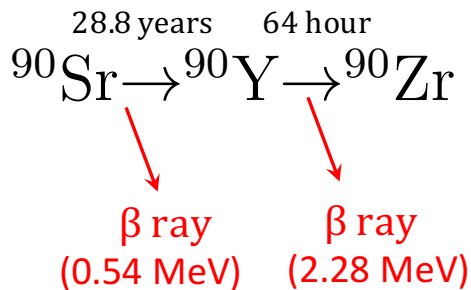
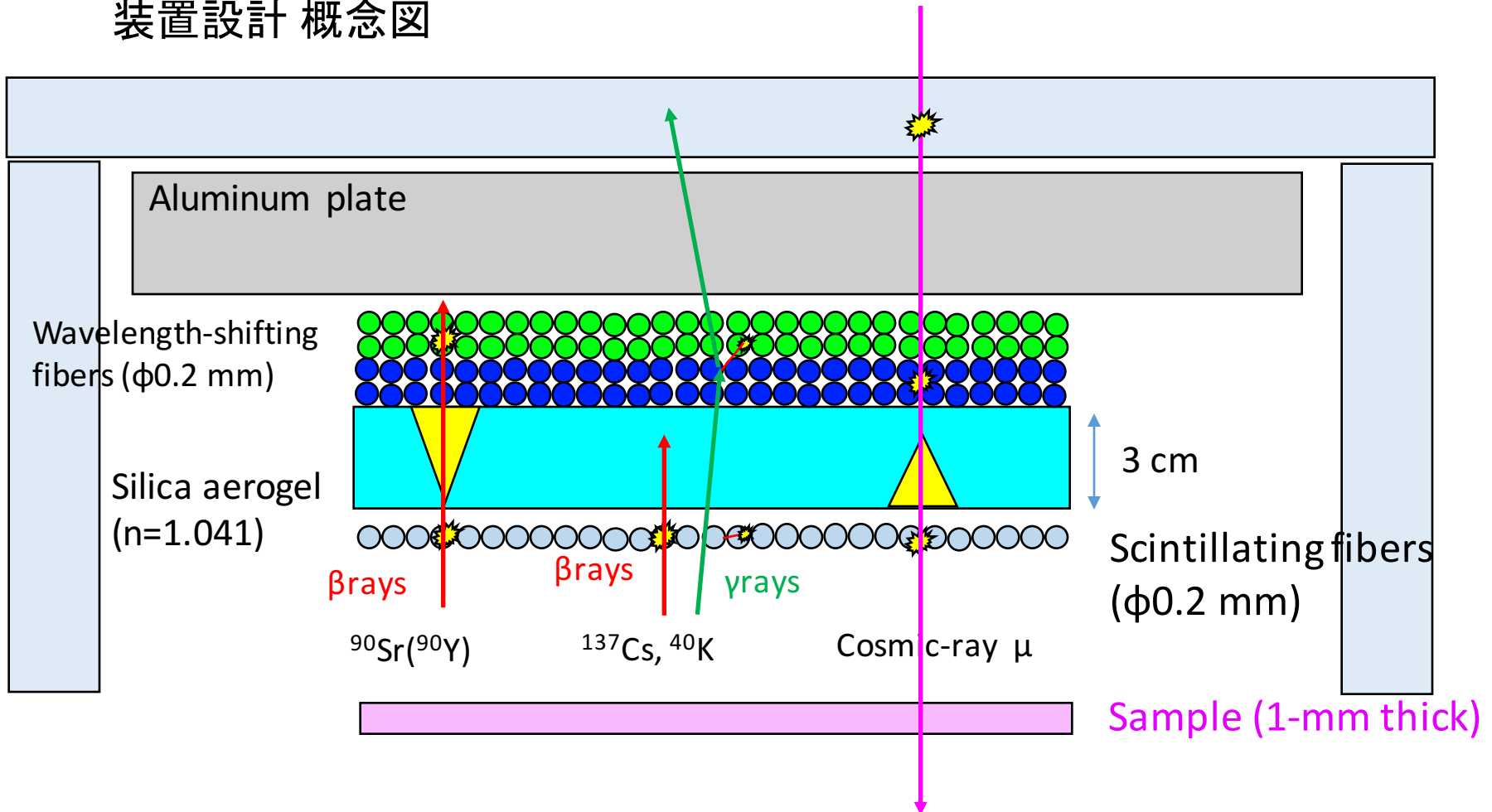
Fig. 1.1: Energy spectrum of β ray from ^{90}Sr and ^{90}Y .

Dose coefficient by ICRP publ.

	^{90}Sr (^{90}Y)	^{137}Cs
Eff. Coeff. (Sv/Bq) (Adult)	2.4×10^{-8}	4.6×10^{-9}
Red Marrow		
Dose Coeff. (Sv/Bq) (Adult)	1.6×10^{-7}	4.4×10^{-9}
(Infant)	8.6×10^{-7}	6.8×10^{-9}

1. ^{90}Sr Counter 開発研究

装置設計 概念図



これまでの研究業績

1. ^{90}Sr Counter 開発研究

閾値型チェレンコフ検出器

^{40}K からの β 線でチェレンコフ放射しない屈折率の閾値は

$$n_{\text{th}} = \frac{m_e c^2 + K}{\sqrt{(m_e c^2 + K)^2 - m_e^2 c^4}}$$

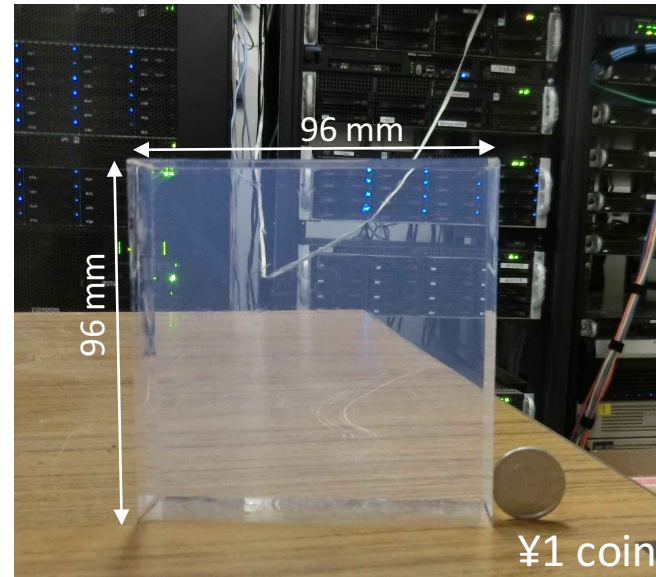
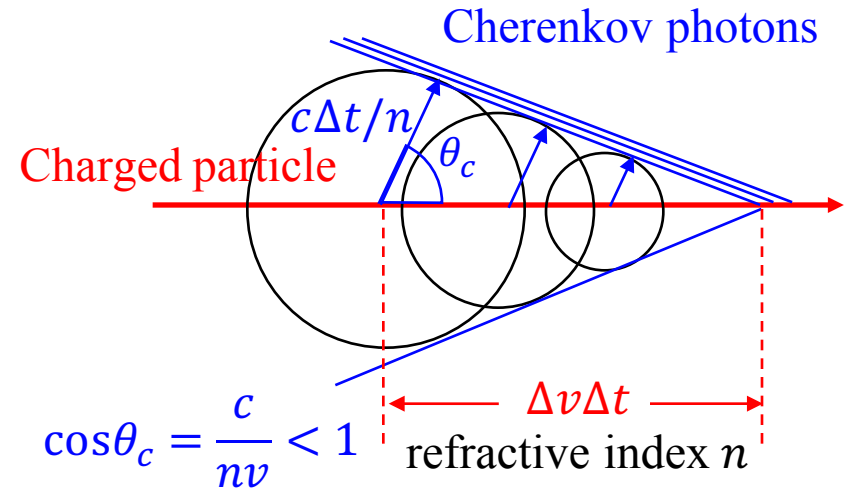
m_e は電子質量

$K = 1.31 \text{ MeV}$ なので $n_{\text{th}} = 1.041$

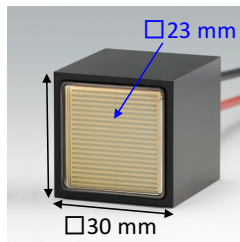
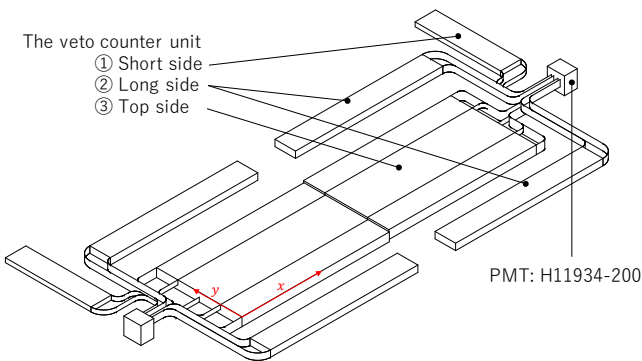
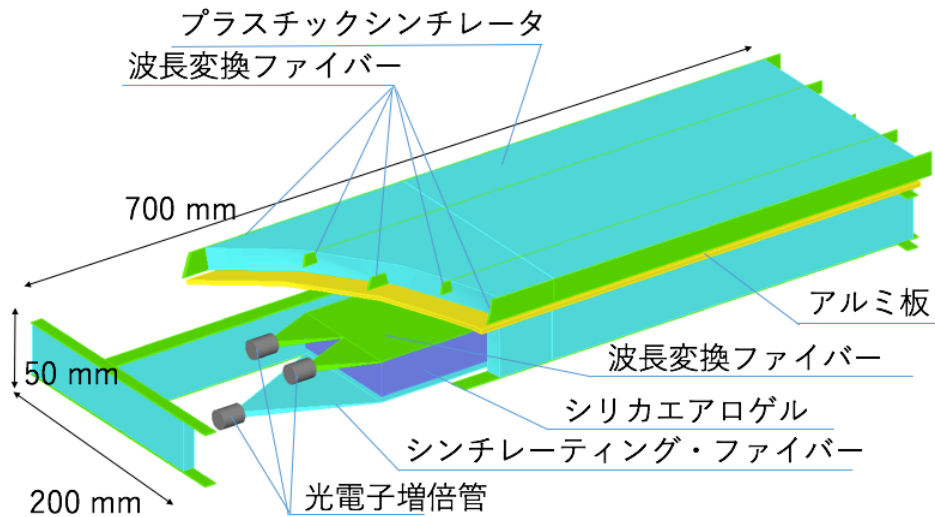
この屈折率では $E_\gamma = 1.53 \text{ MeV}$ 未満の γ 線がコンプトン散乱して反跳した電子もチェレンコフ放射しない。

シリカエアロゲル

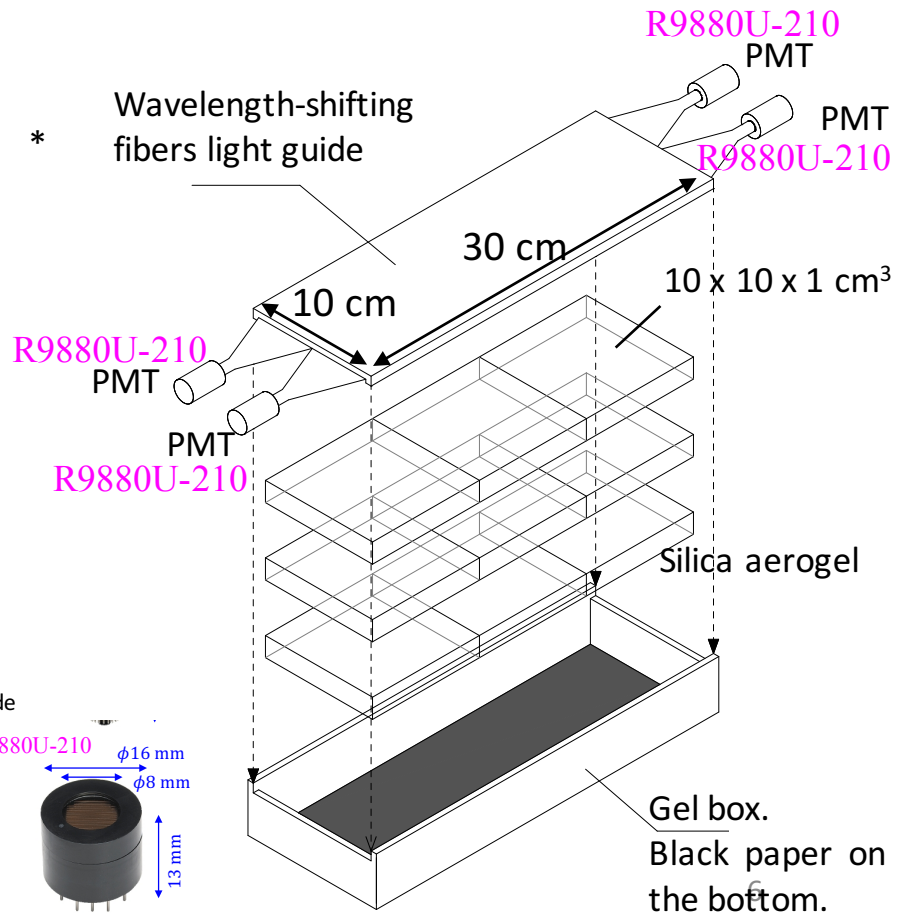
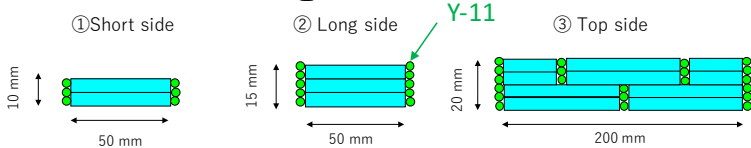
- SiO_2 と空気の混合体のように振る舞う個体
- 1.041のような屈折率を実現



1. ^{90}Sr Counter 開発研究

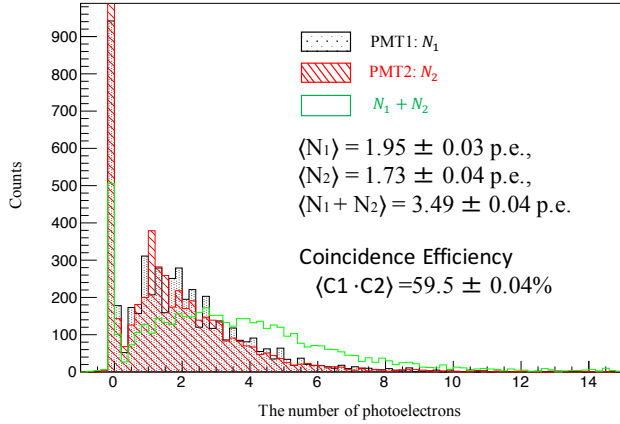


- Photocathode
 - □23 mm
 - Ultra Biakali
- Metal Channel Dynode

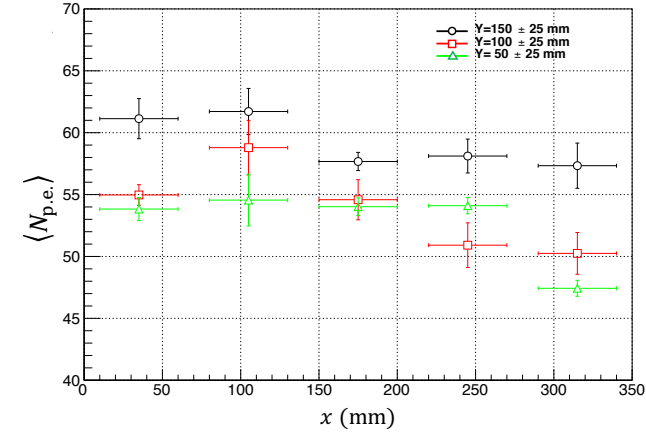
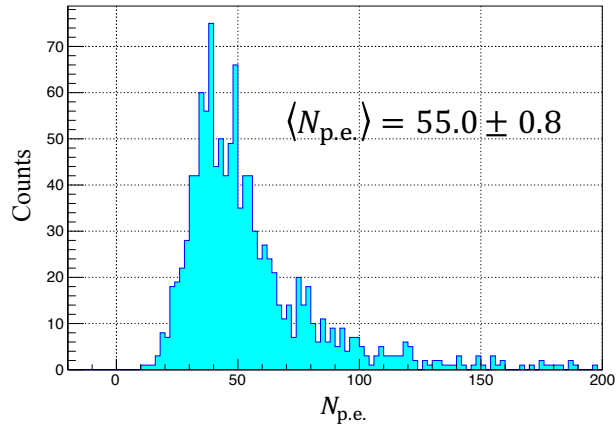


1. ^{90}Sr Counter 開発研究

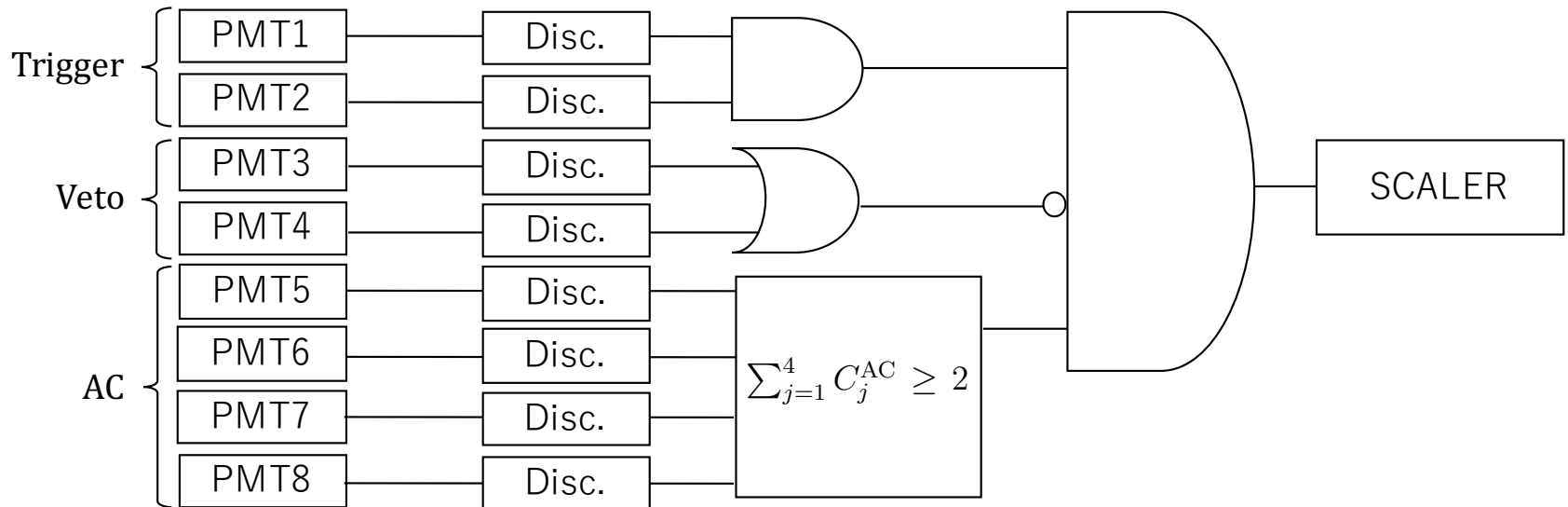
Trigger counter performance



Cosmic-ray veto counter performance



回路設計



1. ^{90}Sr Counter 開発研究

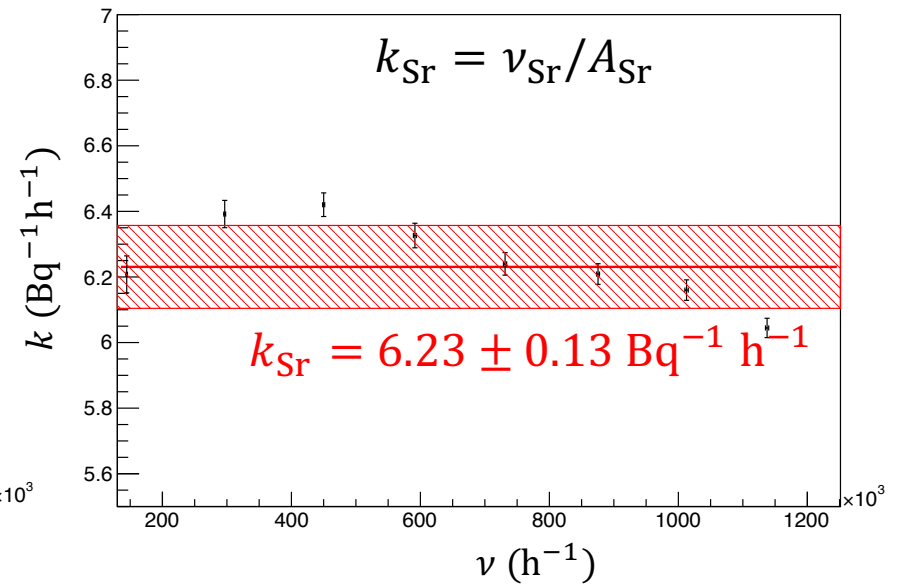
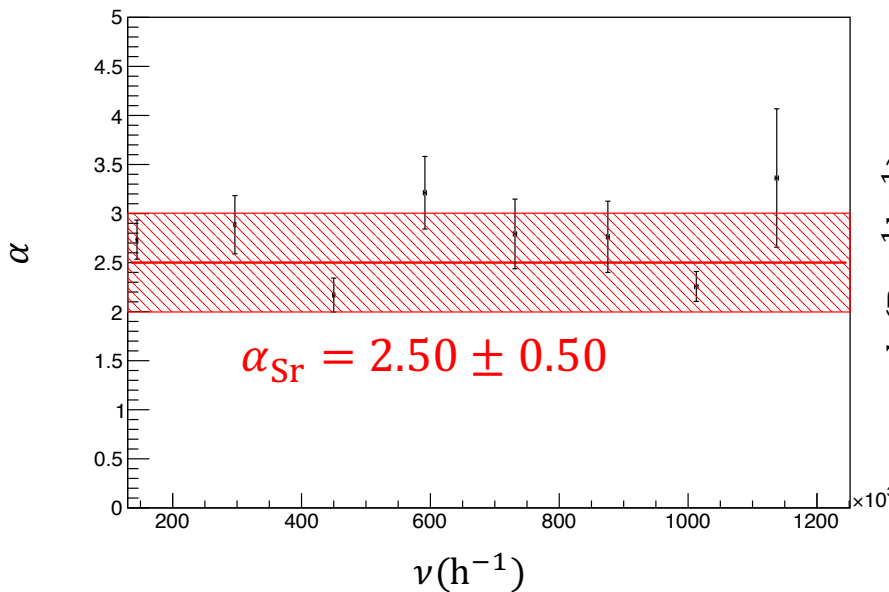
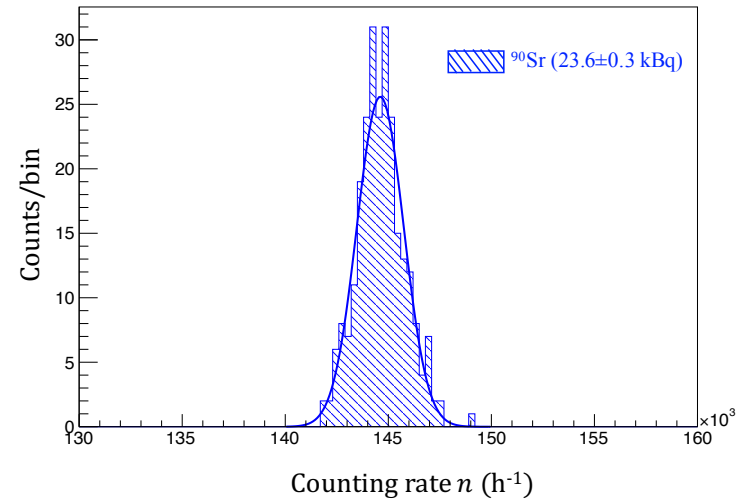
線源を用いた性能評価測定

$$\langle \Gamma_{\text{BG}}(n) \rangle \ll \langle \phi_{\text{Sr}}(n) \rangle \Rightarrow \Gamma_{\text{Sr}}(n) \approx \phi_{\text{Sr}}(n)$$

$$\Gamma_{\text{BG}}(n) = \frac{1}{\sqrt{2\pi\sigma_{\text{BG}}^2}} \exp\left\{-\frac{(n - \nu_{\text{BG}})^2}{2\sigma_{\text{BG}}^2}\right\},$$

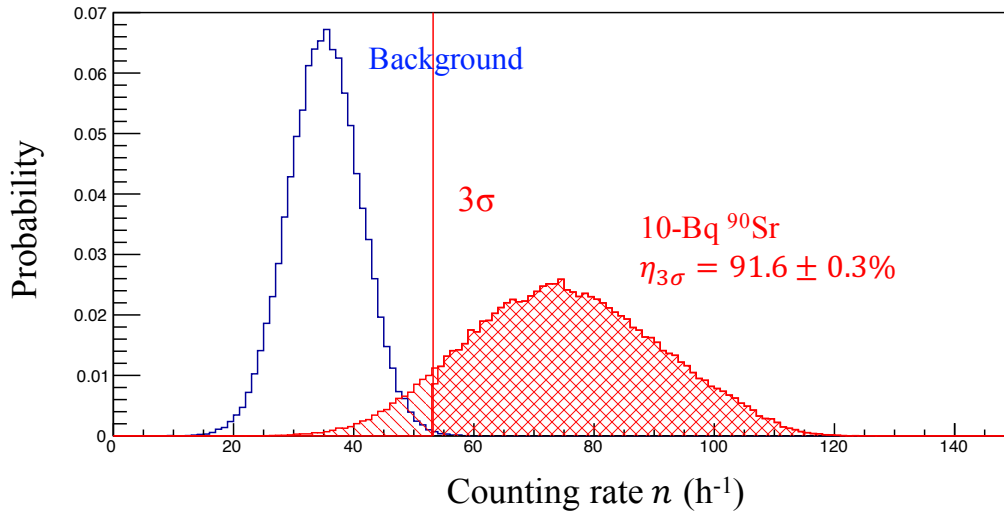
$$\phi_x(n) = \frac{e^{-\nu/\alpha^2} (\nu/\alpha^2)^{n/\alpha^2}}{\Gamma(n/\alpha^2 + 1)}, \quad (x = \text{Sr})$$

Source	α	k ($\text{Bq}^{-1} \text{h}^{-1}$)
^{90}Sr	2.50 ± 0.50	6.23 ± 0.13
^{137}Cs	0.532 ± 0.044	$(4.77 \pm 0.09) \times 10^{-3}$
^{40}K	1.067 ± 0.106	$(1.95 \pm 0.04) \times 10^{-2}$



1. ⁹⁰Sr Counter 開発研究

線源を用いた性能評価測定



- These curves show relations between ⁹⁰Sr radioactivity and the efficiency for 1, 2, 3σ threshold condition.
- Typical detection limit is determined to be $A_{3\sigma}^{50\%}$ satisfying $\langle \Gamma_{Sr}(n) \rangle > \langle \Gamma_{BG}(n) \rangle + 3\sigma$.
- $A_{3\sigma}^{50\%} = 4.6$ Bq at 1-hour measuring.

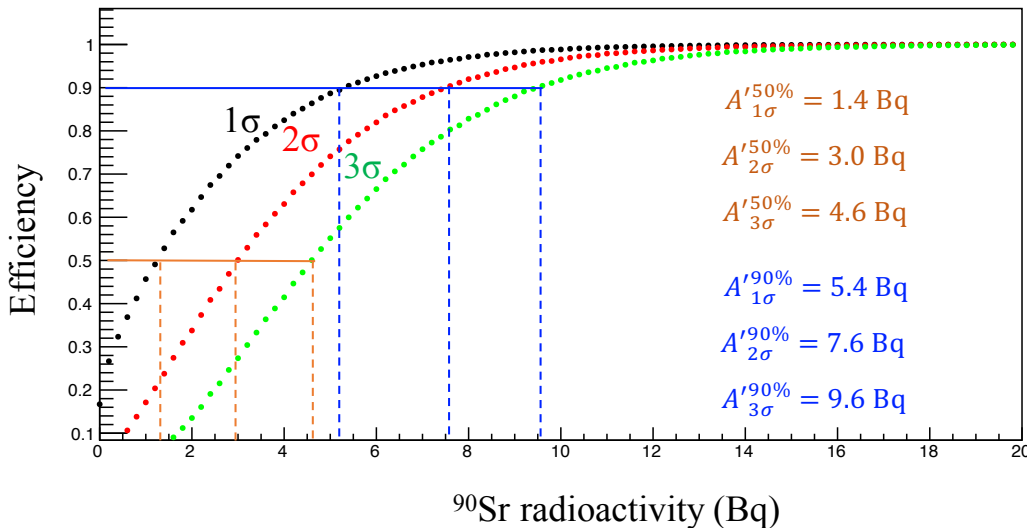
乾燥した海産物サンプルの密度 1 g/cm^3 、
 体積圧縮率 $\varepsilon=0.3$ 、厚さ 1 mm 、質量 $m=30 \text{ g}$ とすると1時間測定における検出限界は、

$$A_{3\sigma}^{50\%} m \varepsilon^{-1} = 46 \text{ Bq/kg}$$

$A \propto S^{-1}$; it expected to be 8.4 Bq/kg @ $S=1 \text{ m}^2$

海水における検出限界は

$$A_{3\sigma}^{50\%} m \varepsilon^{-1} = 1.5 \text{ Bq/L}$$

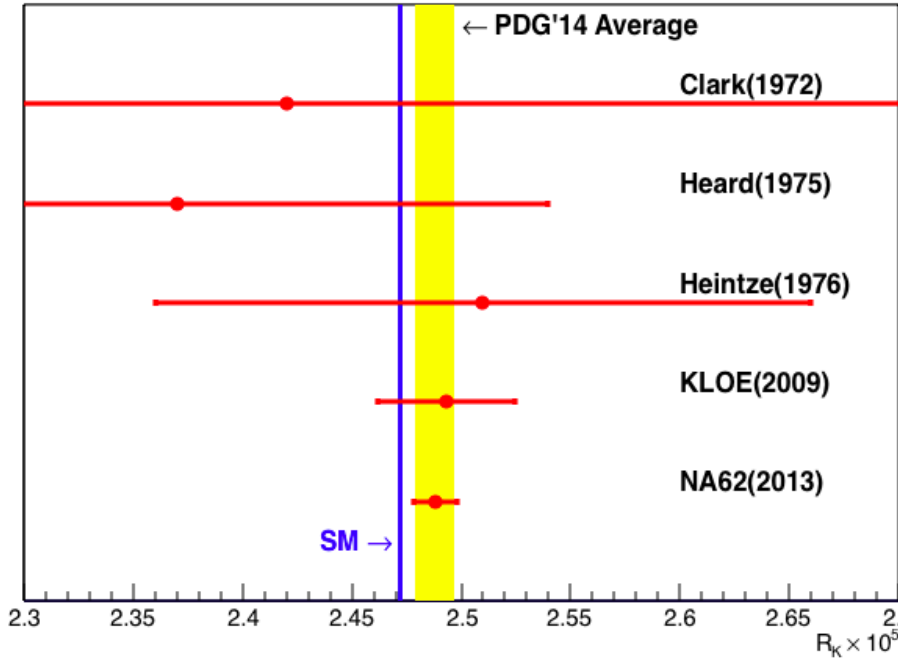


2. J-PARC E36 実験

静止 K^+ を用いた $\Gamma(K^+ \rightarrow e^+ \nu_e) / \Gamma(K^+ \rightarrow \mu^+ \nu_\mu)$ の精密測定実験

2. J-PARC E36 実験

静止 K^+ を用いた $\Gamma(K^+ \rightarrow e^+ \nu_e) / \Gamma(K^+ \rightarrow \mu^+ \nu_\mu)$ の精密測定実験



	$R_K \times 10^5$	$\Delta R_K / R_K$
KLOE(2009)	$2.493 \pm 0.025 \pm 0.019$ (stat) (sys)	1.26%
NA62(2013)	$2.488 \pm 0.007 \pm 0.007$ (stat) (sys)	0.40%
SM	2.477 ± 0.001	0.04%

Initial goal of
E36

0.25%

$$R_K^{SM} = \frac{\Gamma(K^+ \rightarrow e^+ \nu_e)}{\Gamma(K^+ \rightarrow \mu^+ \nu_\mu)}$$

$$= \frac{m_e^2}{m_\mu^2} \left(\frac{m_K^2 - m_e^2}{m_K^2 - m_\mu^2} \right)^2 (1 + \delta_r)$$

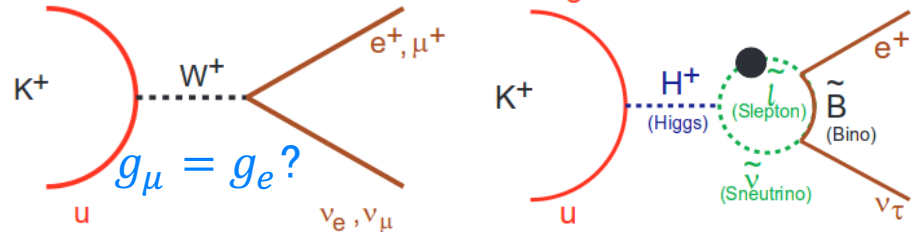
radiative correction
helicity suppression

$K^+ \rightarrow l^+ \nu_l$

$$\Gamma(K_{l2}) = g_l^2 (G^2 / 8\pi)$$

$$f_K^2 m_K m_l^2 \{1 - (m_l^2 / m_K^2)\}^2$$

Candidate Model:
MSSM with LFV



$$R_K^{LFV} = R_K^{SM} \left(1 + \frac{m_K^4}{M_{H^+}^4} \cdot \frac{m_\tau^2}{m_e^2} \Delta_{13}^2 \tan^6 \beta \right)$$

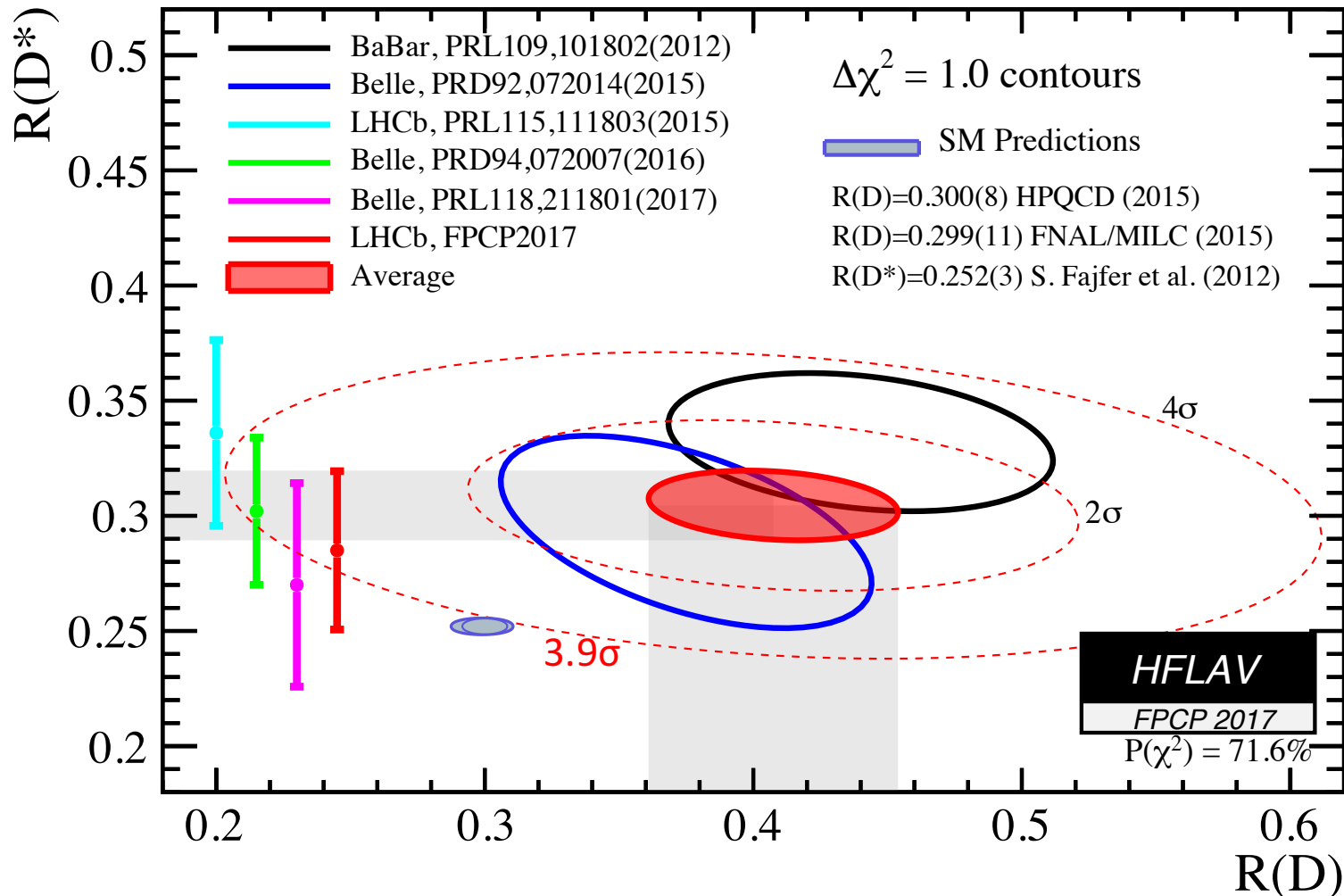
$$\sim R_K^{SM} (1 + 0.013_{\max})$$

Phys. Rev. D **74**

2. J-PARC E36 実験

$$\mathcal{R}(D) = \frac{\mathcal{B}(\bar{B} \rightarrow D\tau^-\bar{\nu}_\tau)}{\mathcal{B}(\bar{B} \rightarrow D\ell^-\bar{\nu}_\ell)}, \quad \mathcal{R}(D^*) = \frac{\mathcal{B}(\bar{B} \rightarrow D^*\tau^-\bar{\nu}_\tau)}{\mathcal{B}(\bar{B} \rightarrow D^*\ell^-\bar{\nu}_\ell)}$$

where ℓ refers to either an e or μ .

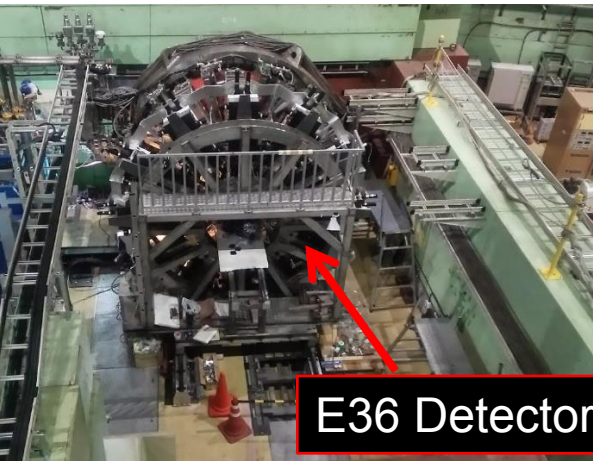


2. J-PARC E36 実験

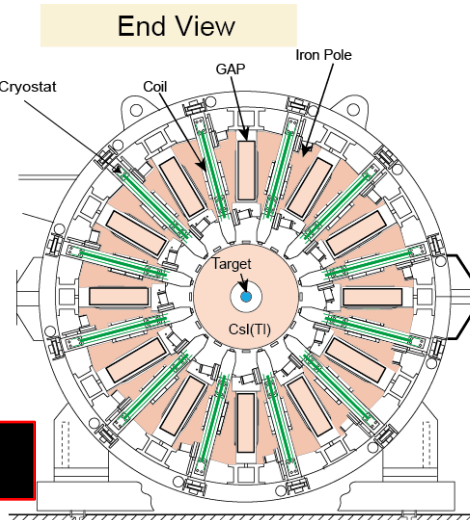
Phys. Run: October, 2015 – December, 2015



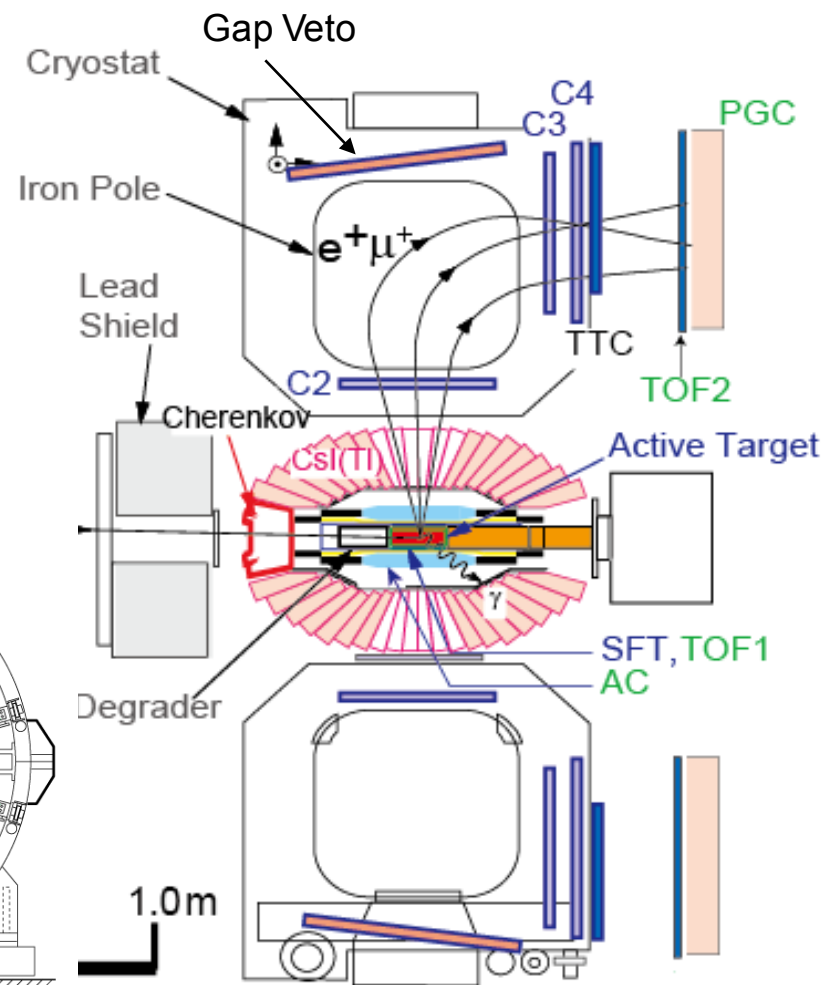
J-PARC Hadron Hall



E36 Detector



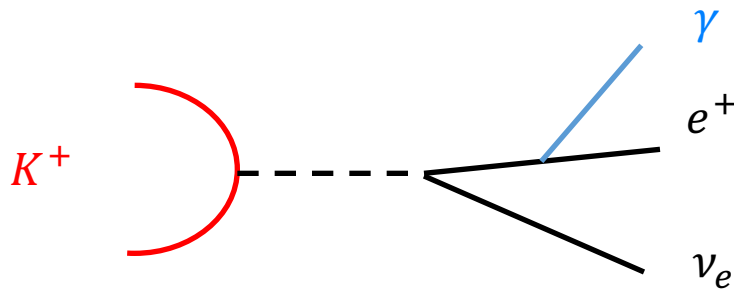
Side View



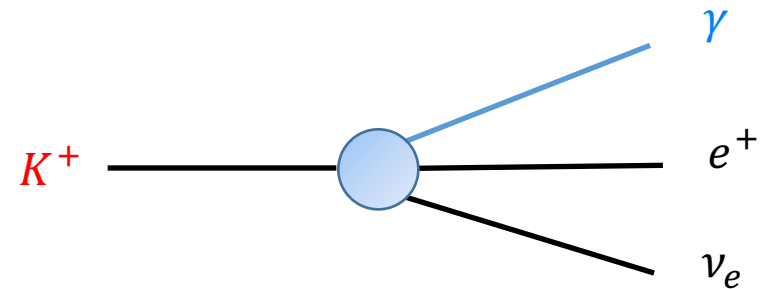
2. J-PARC E36 実験

$$R_K^{SM} = \frac{\Gamma(K_{e2}) + \Gamma(K_{e2\gamma}(IB))}{\Gamma(K_{\mu 2}) + \Gamma(K_{\mu 2\gamma}(IB))}$$

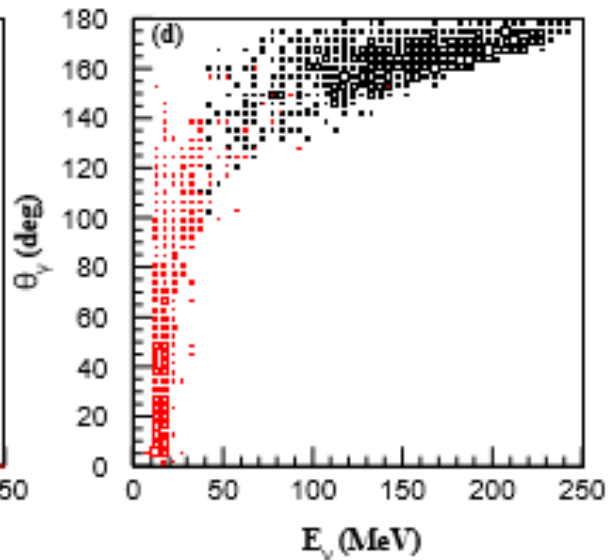
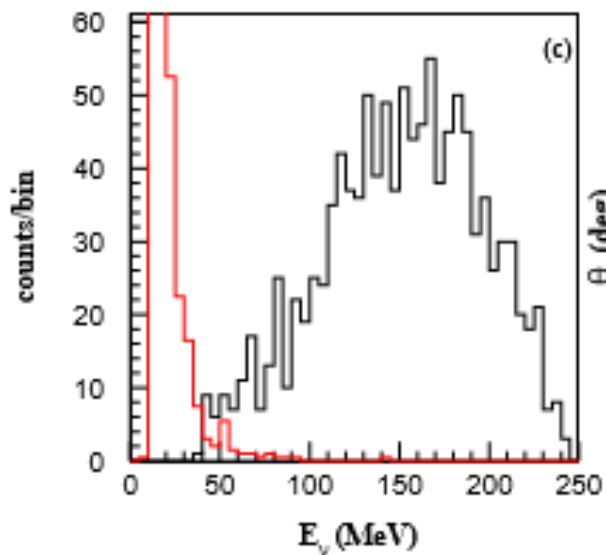
Background: $K_{e2\gamma}$ (SD)
 $K_{e2\gamma}: K^+ \rightarrow e^+ \nu_e \gamma$



Internal Bremsstrahlung (IB)



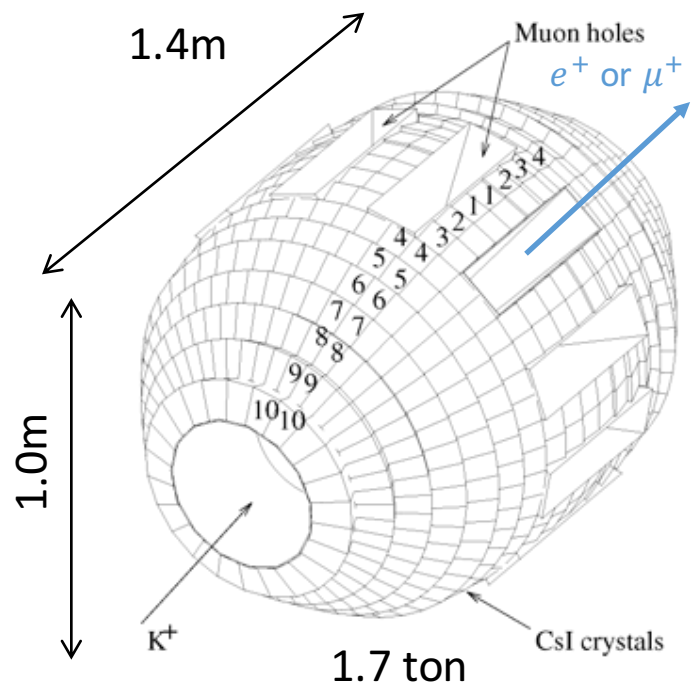
Structure Dependent (SD)



$$\Gamma(K_{e2\gamma}(SD)) \sim 9.4 \times 10^{-6}$$

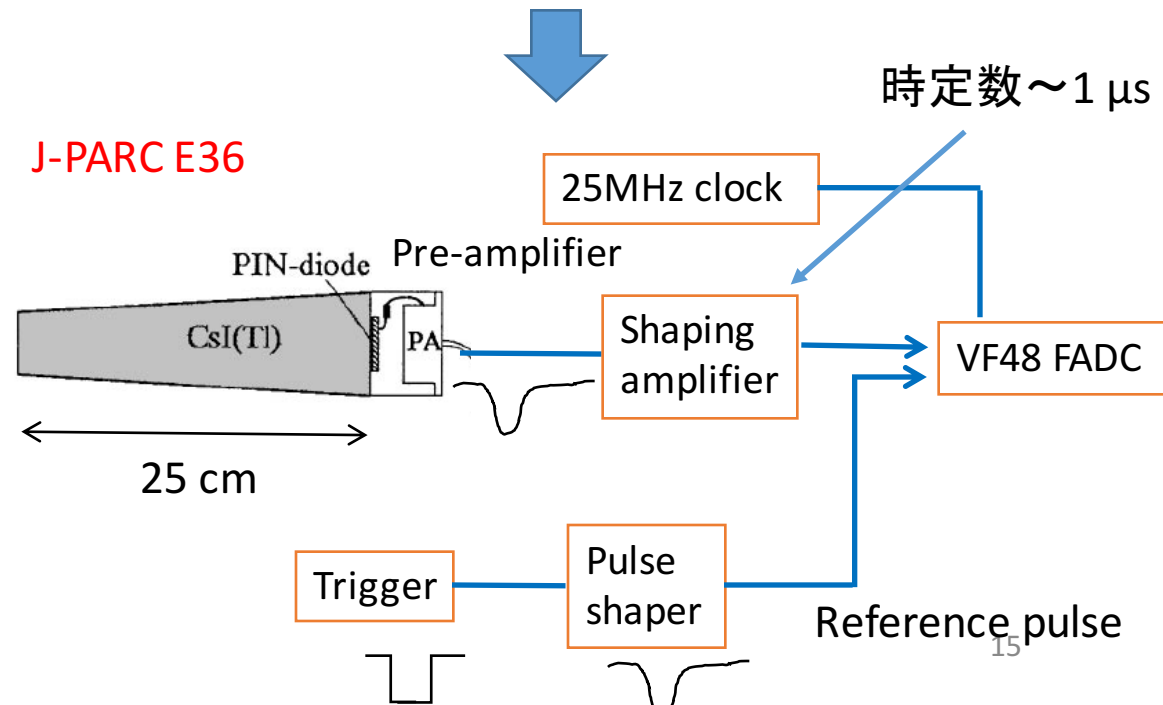
2. J-PARC E36 実験

768 CsI(Tl) crystal modules

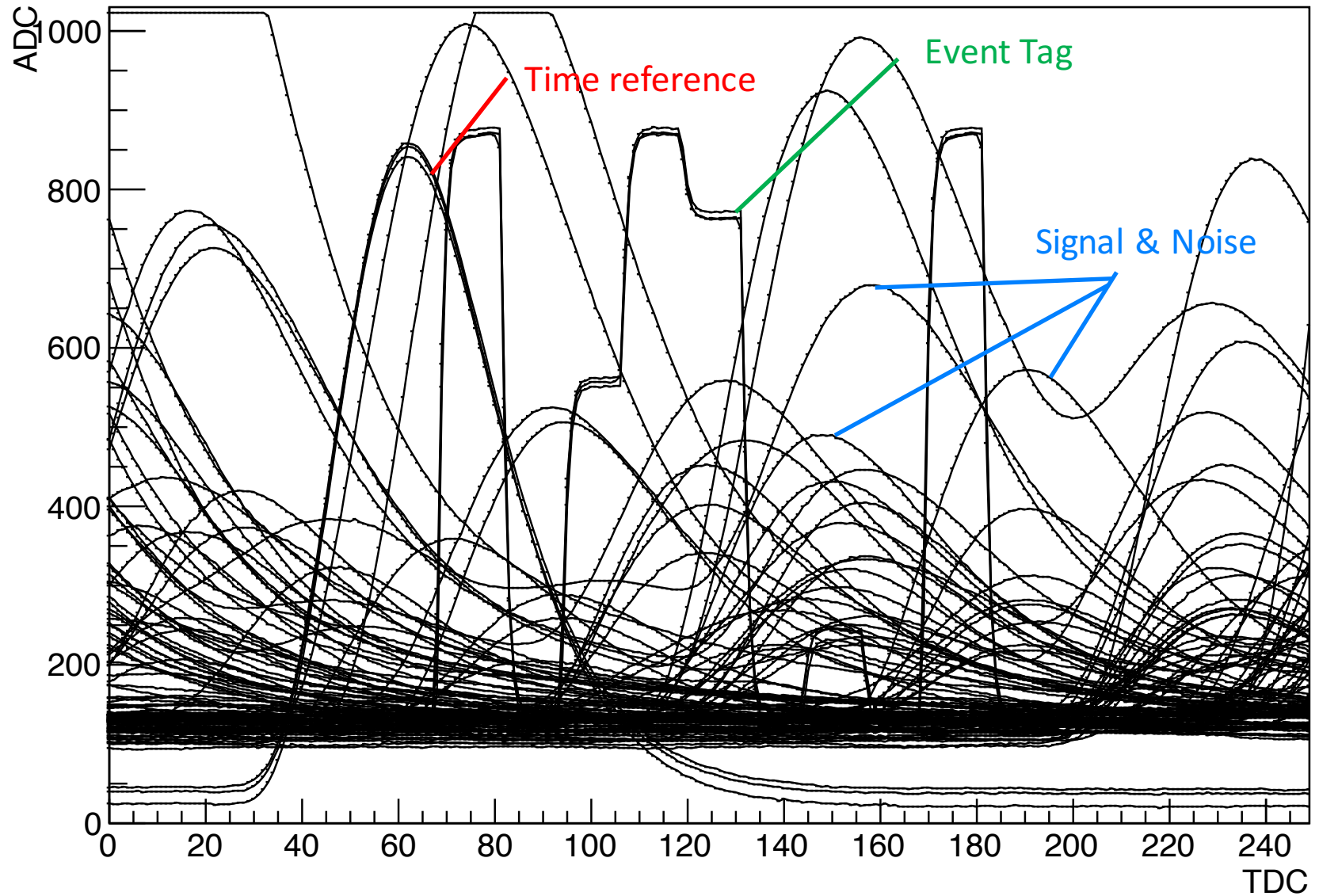


KEK-PS E246

J-PARC E36

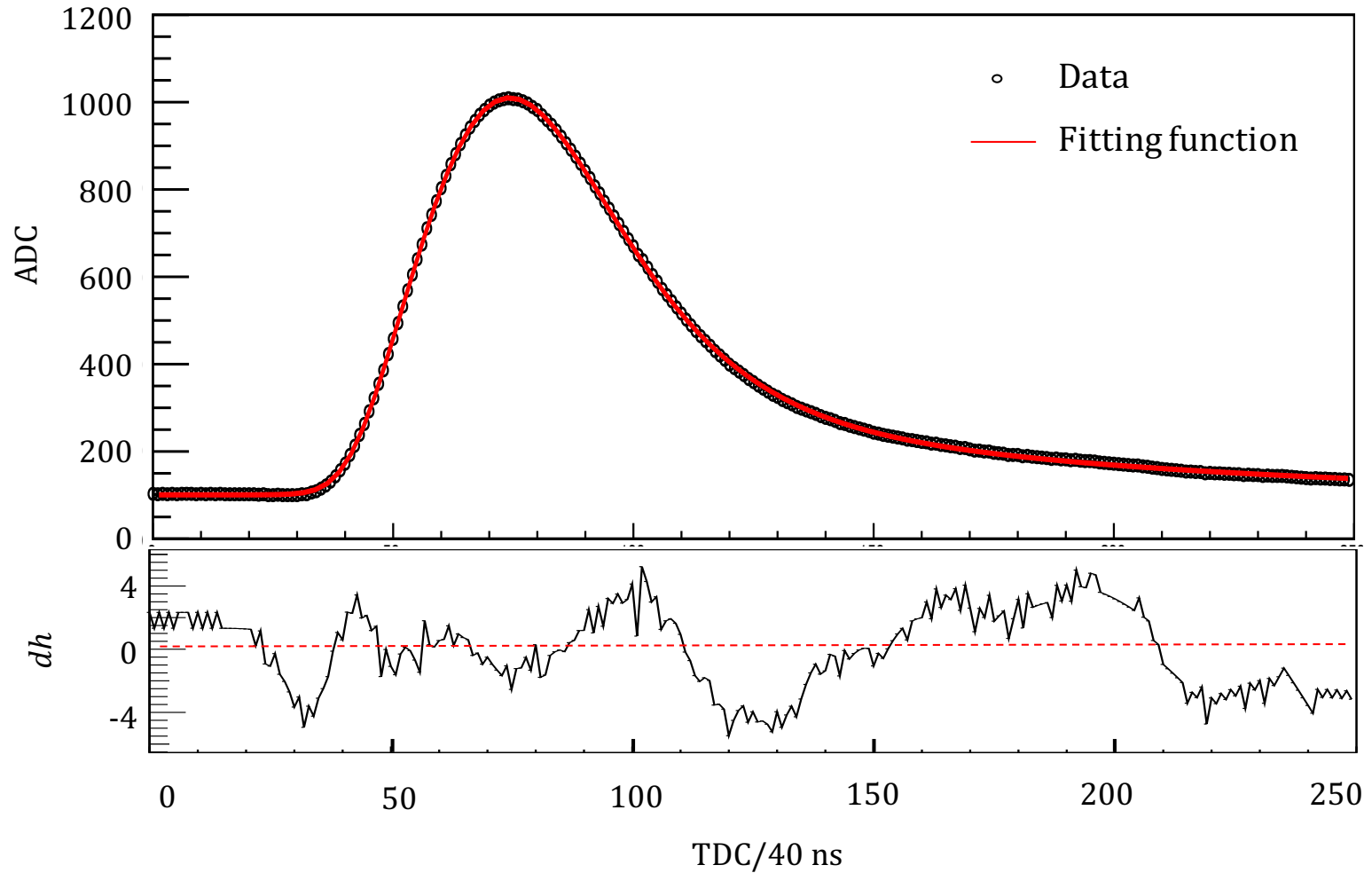


2. J-PARC E36 実験



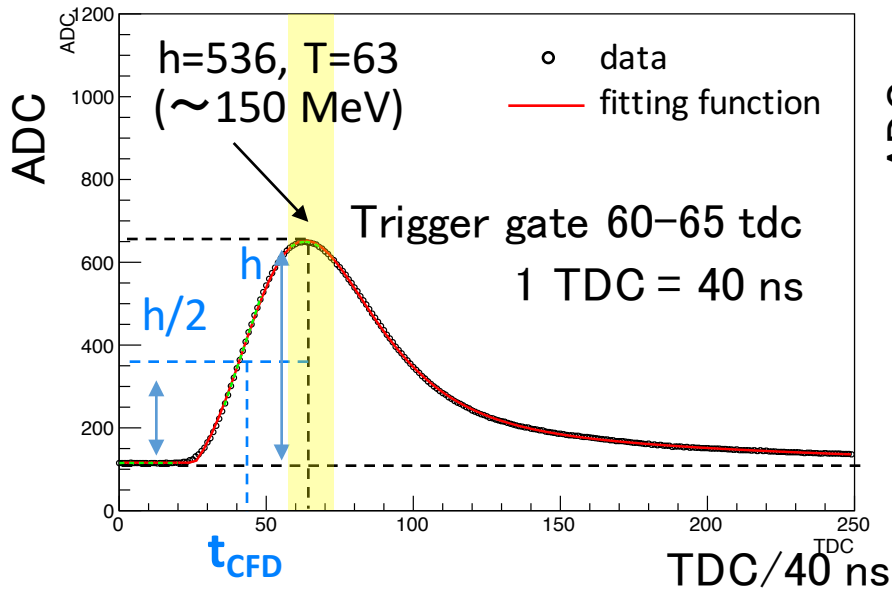
2. J-PARC E36 実験

Development of Waveform Model

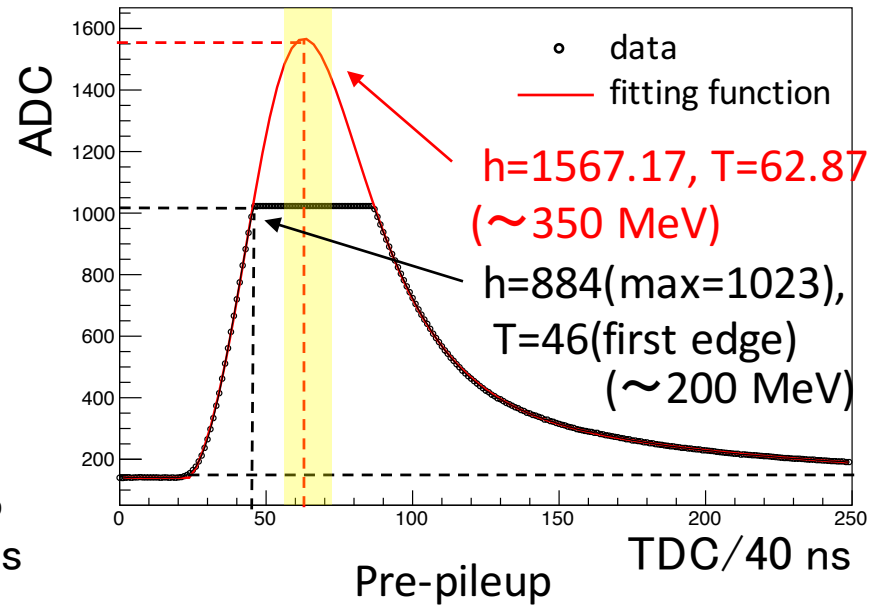


2. J-PARC E36 実験

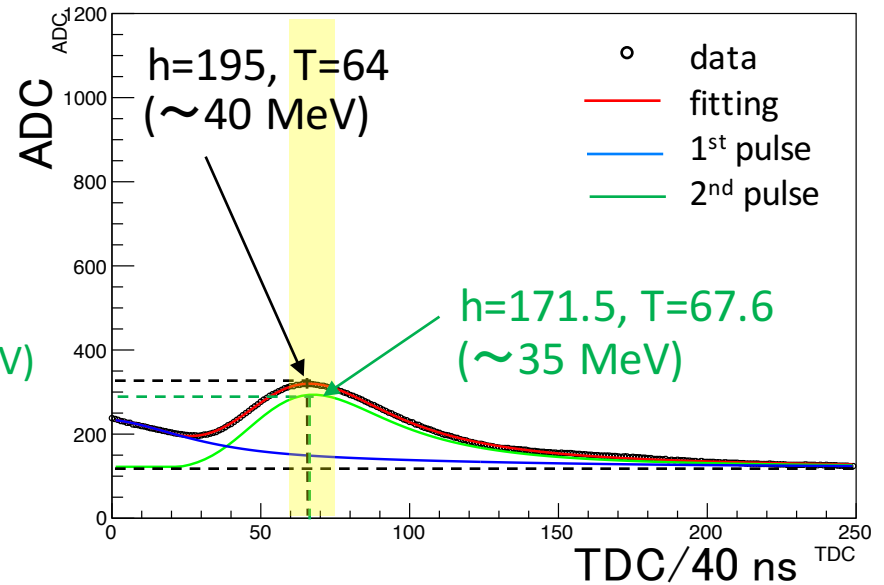
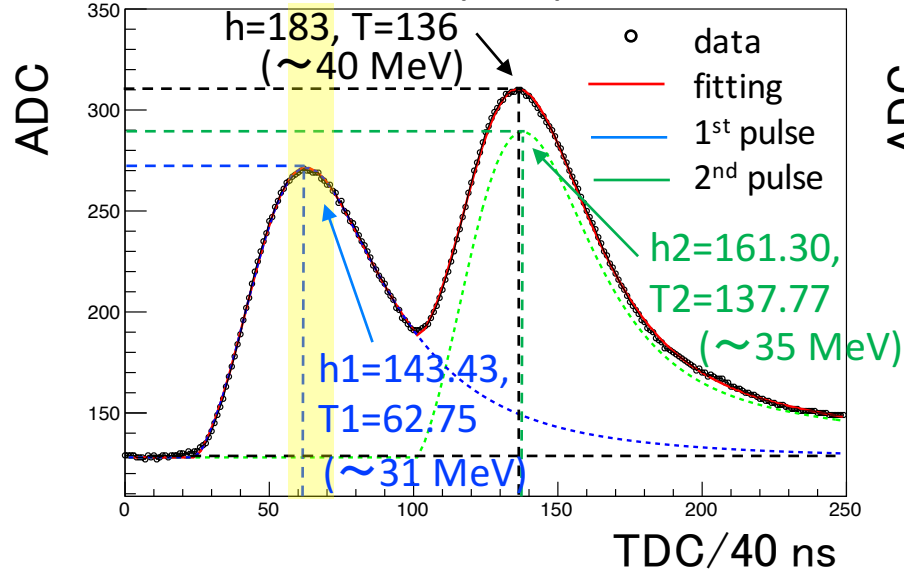
Typical pulse



Overflow pulse

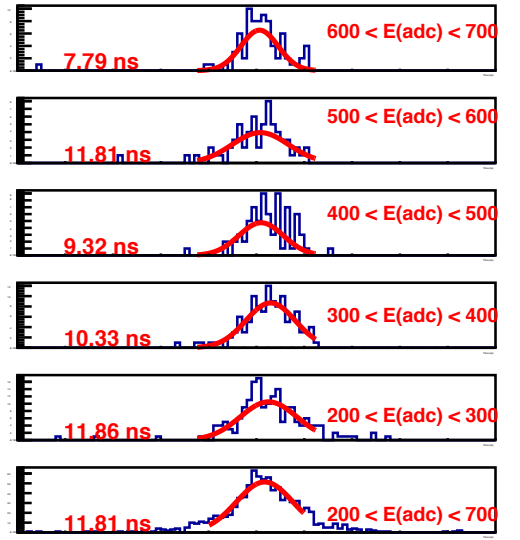
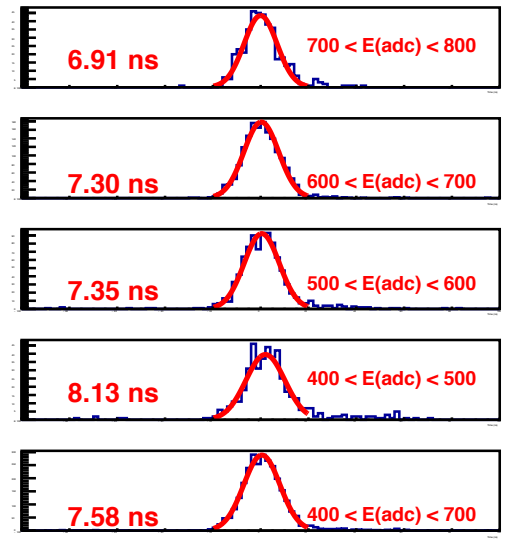
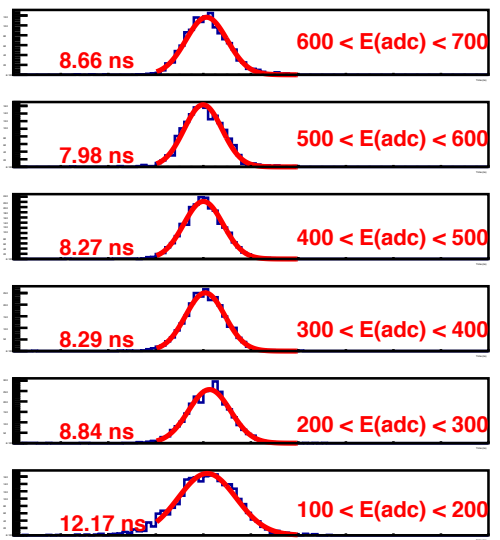
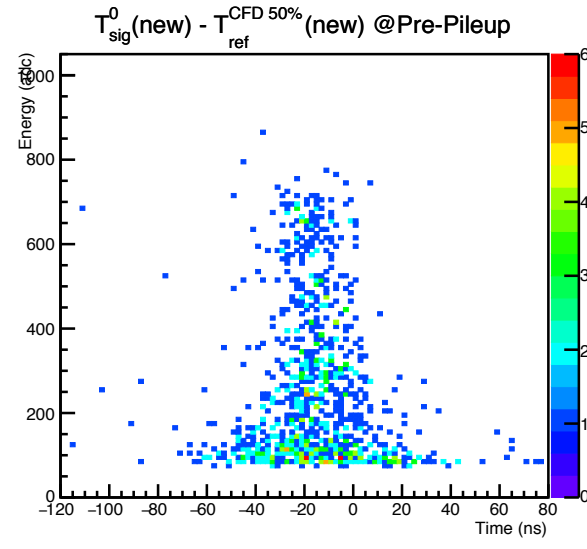
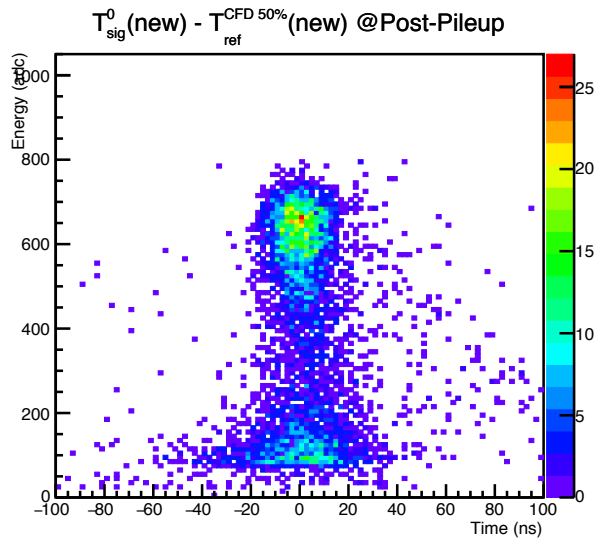
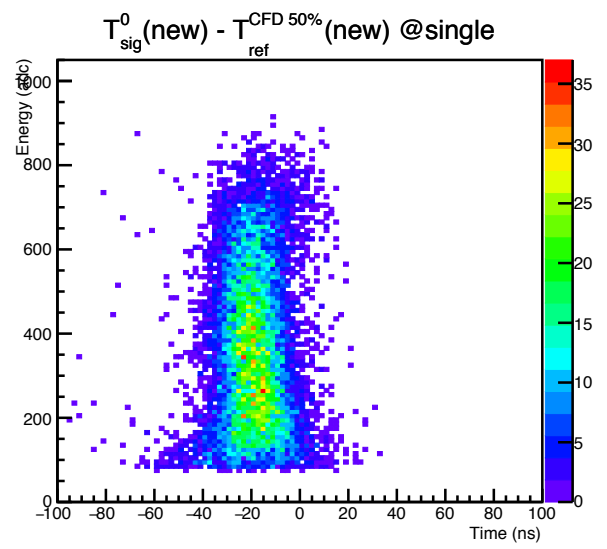


Post-pileup



2. J-PARC E36 実験

時間分解能評価

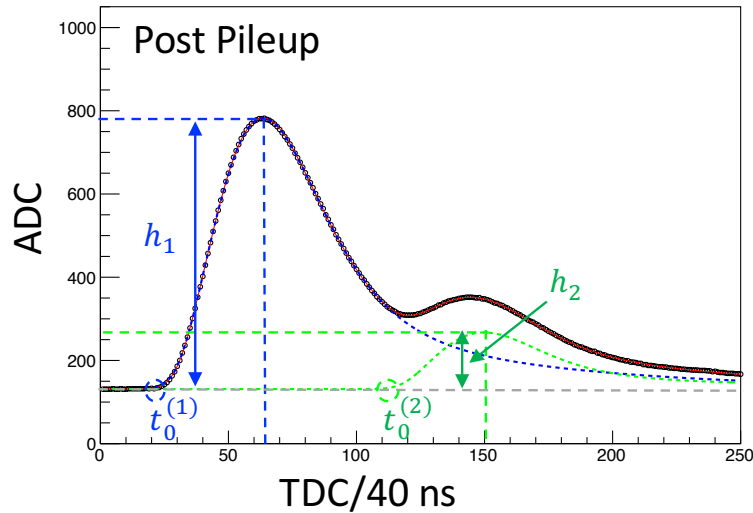


2. J-PARC E36 実験

エネルギー較正

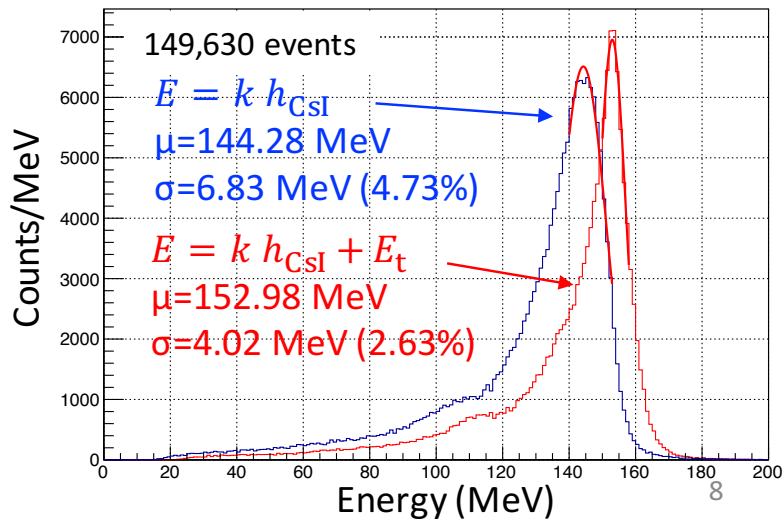
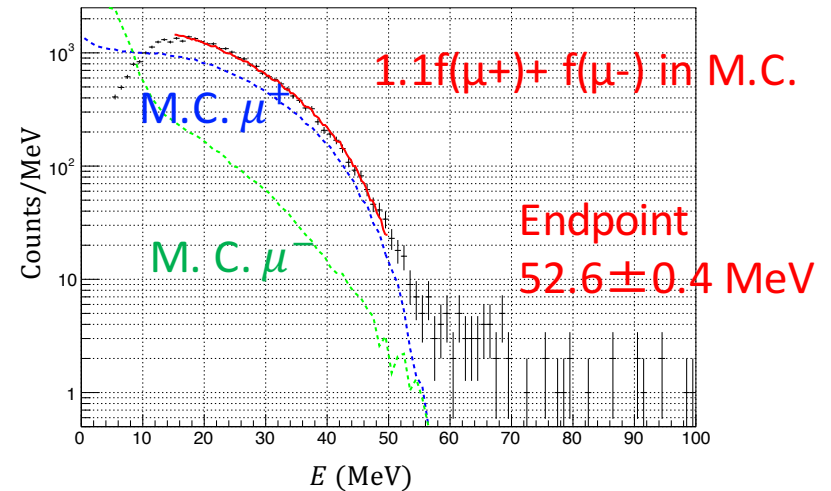
Stopped Kaon Beam

$K^+ \rightarrow \mu^+ \nu$: μ^+ ($K=153$ MeV)

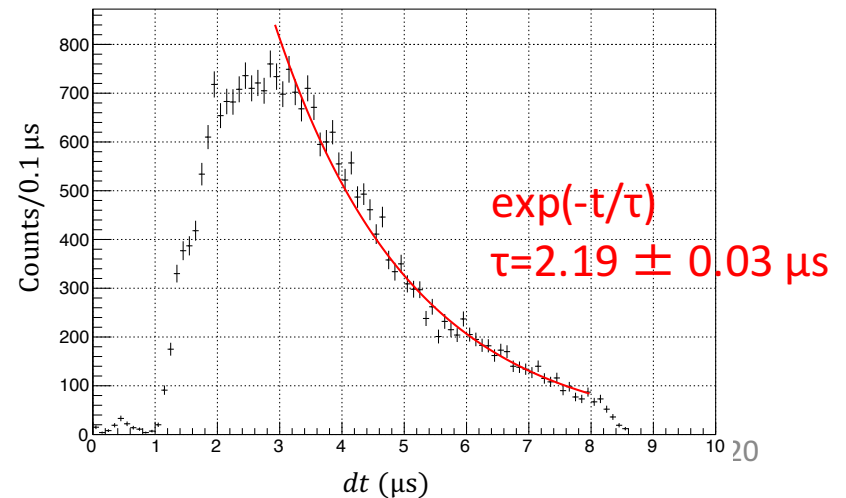


Cosmic-ray muon stop

$\mu^+ \rightarrow e^+ \nu \bar{\nu}$: e^+ ($K_{\max}=52.32$ MeV)

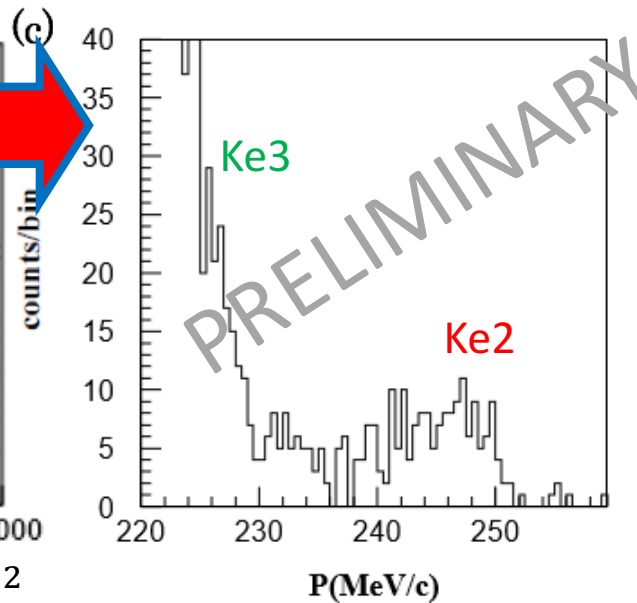
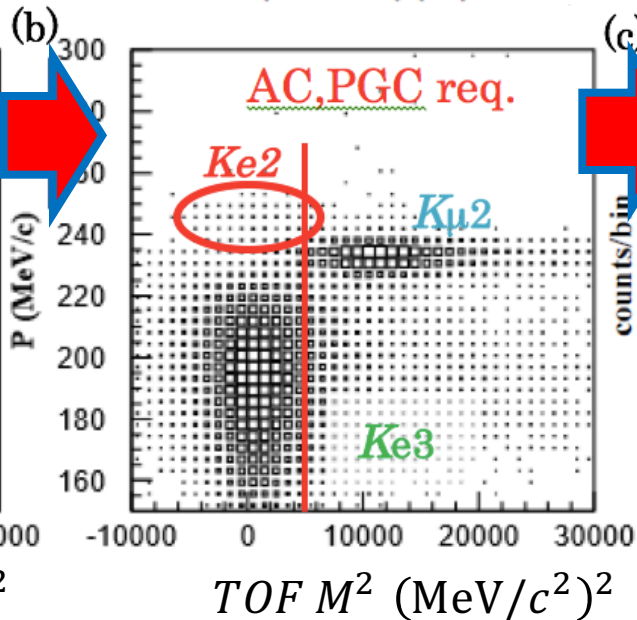
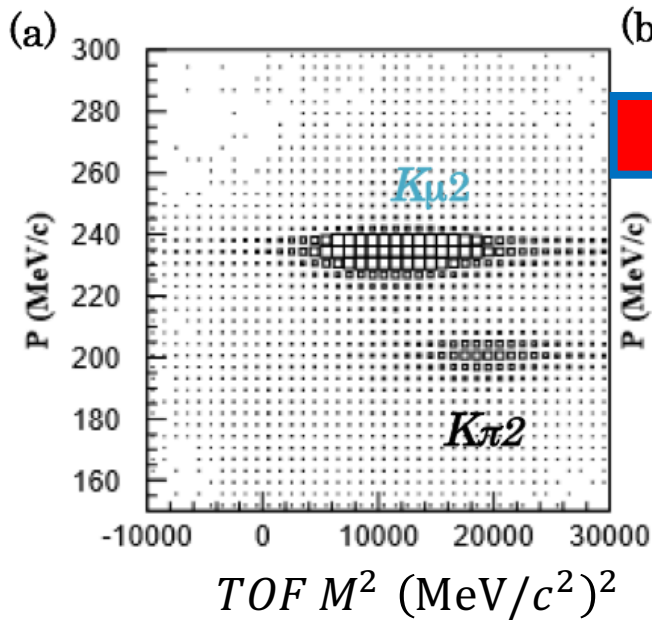
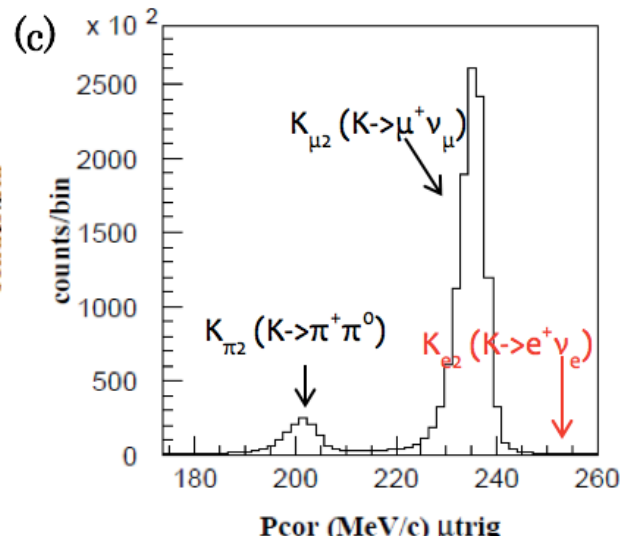
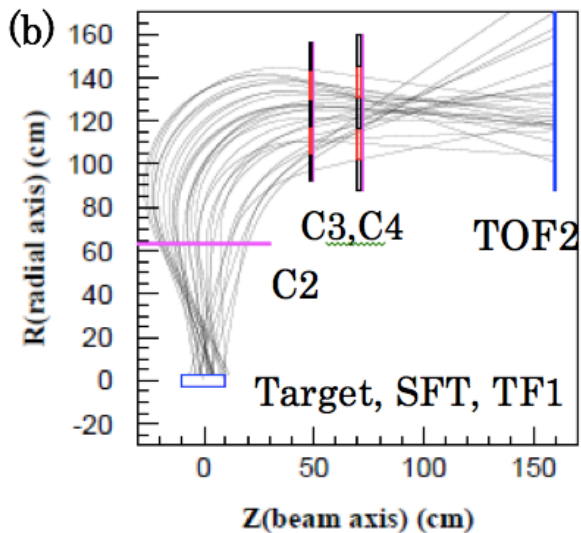
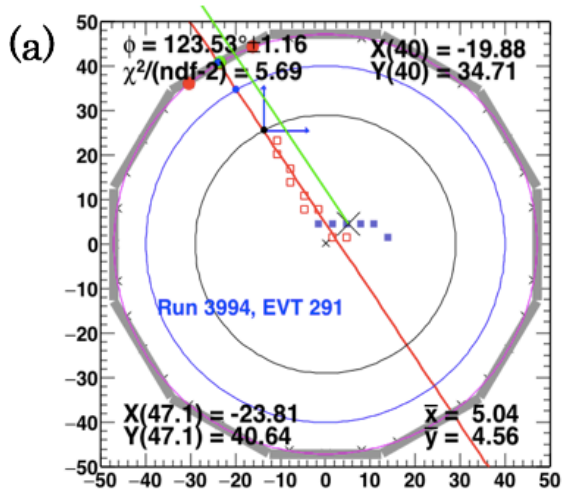


Life time ($\tau=2.197$ μs)



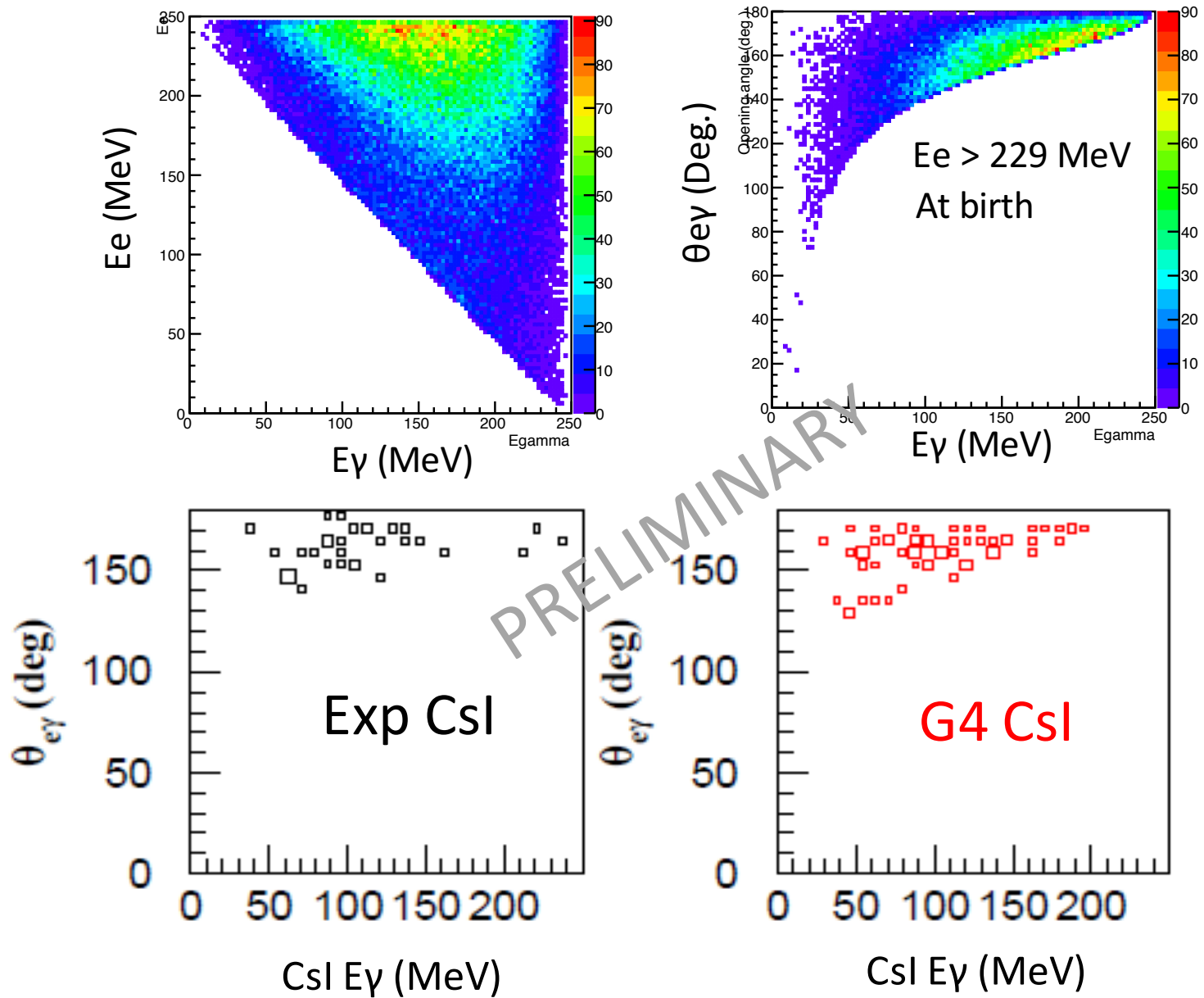
2. J-PARC E36 実験

Ke2 γ Background study



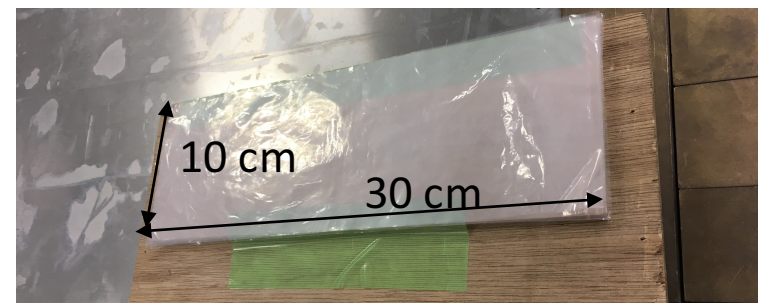
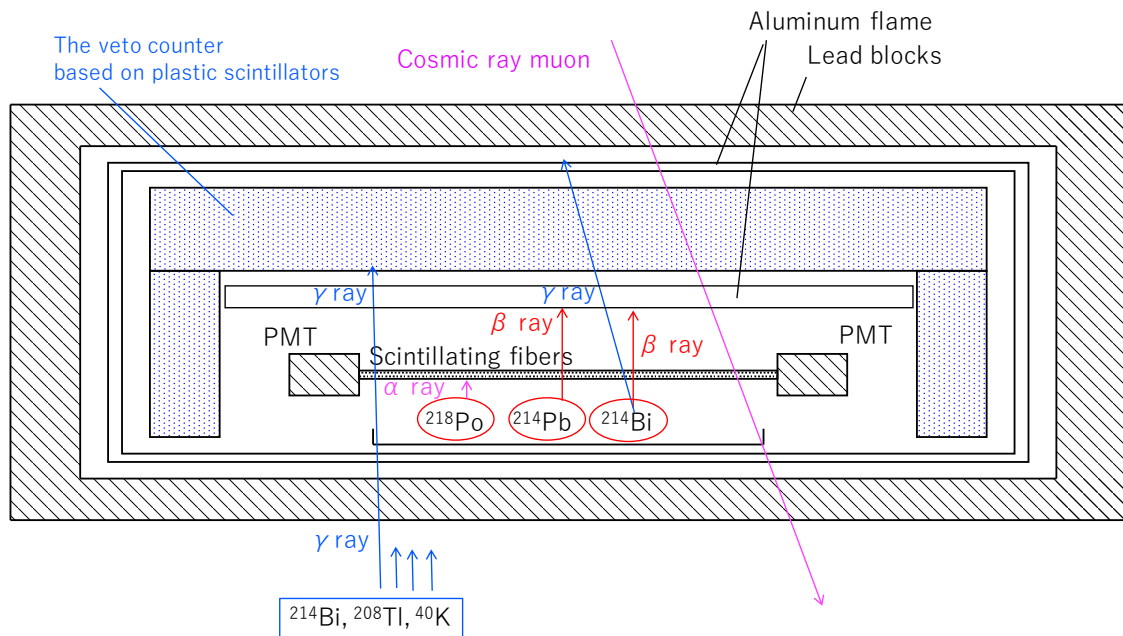
2. J-PARC E36 実験

Ke2 γ (SD) Background study comparing with MC

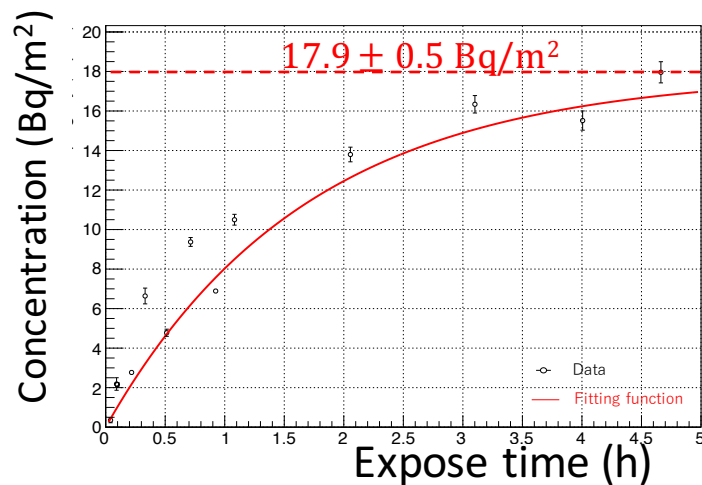
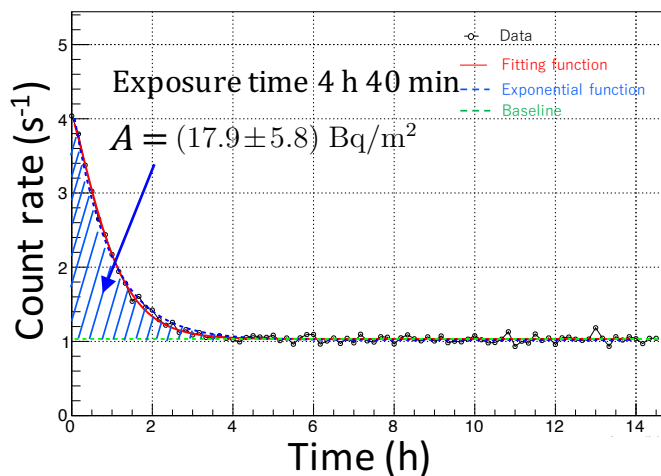


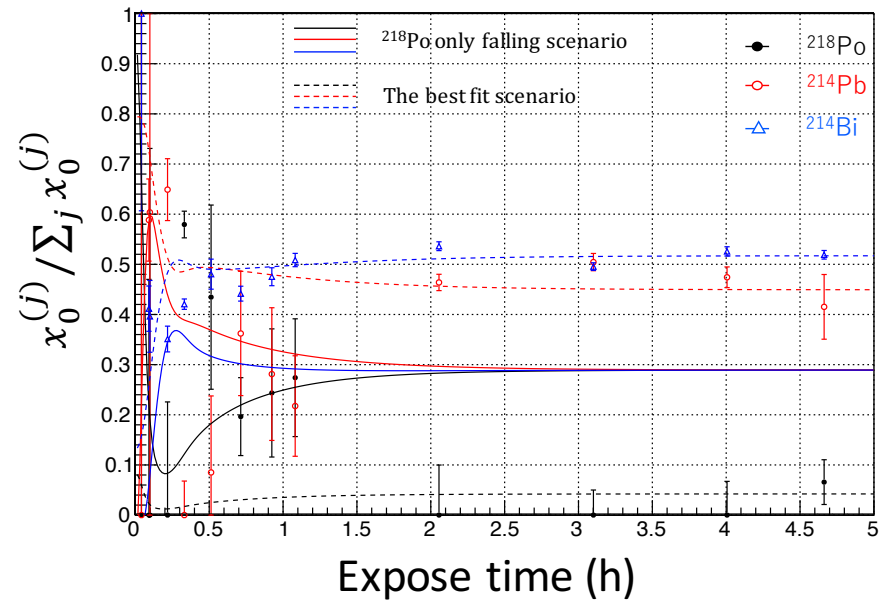
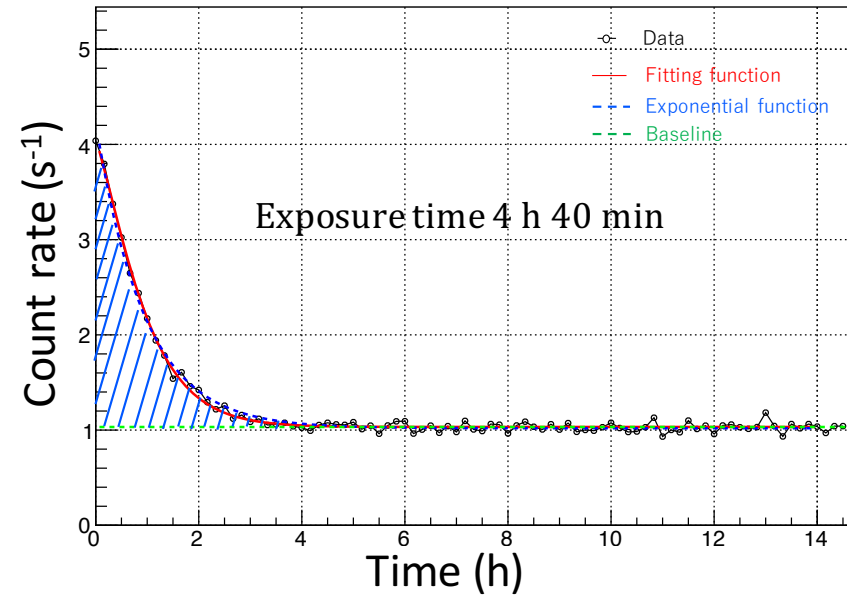
Buck up

(1) 極低放射能測定システム構築・運用・データベース化・新技術開発



Polyethylene sample sheet (10枚)





Isotope $j = 1, 2, 3$ are ^{218}Po , ^{214}Pb , ^{214}Bi , respectively.

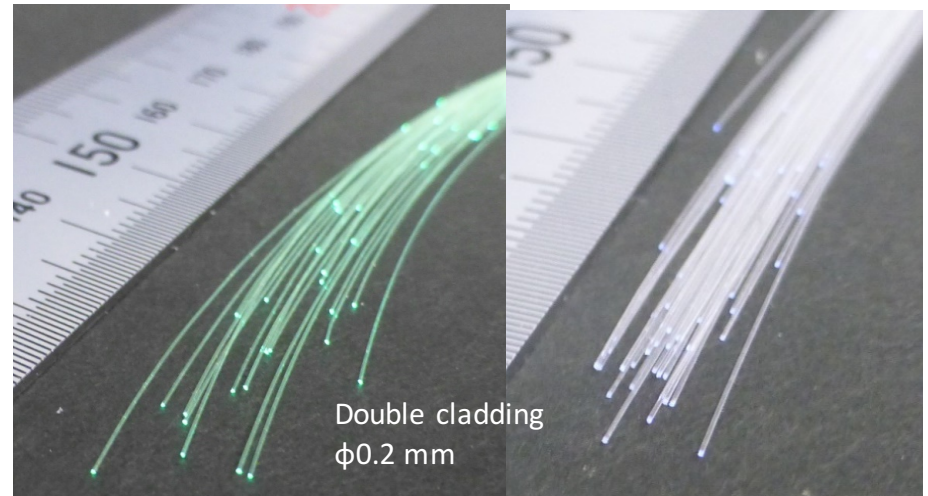
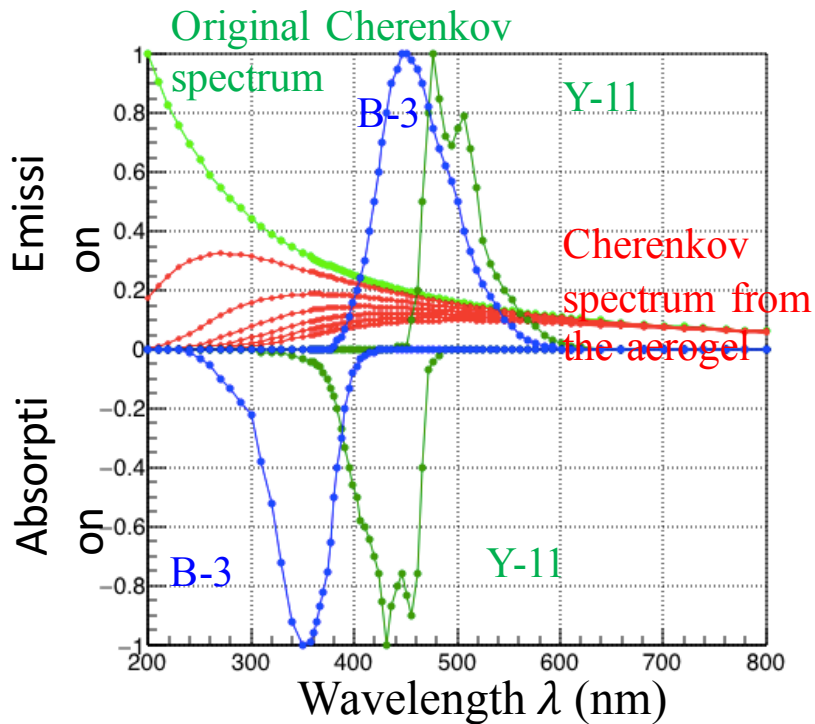
$\lambda_j = \tau_j^{-1}$: inverse of life time of isotope j

$x_0^{(j)}$: initial intensity of isotope j

R_{BG} : background rate

これまでの研究業績

1. ^{90}Sr Counter 開発研究

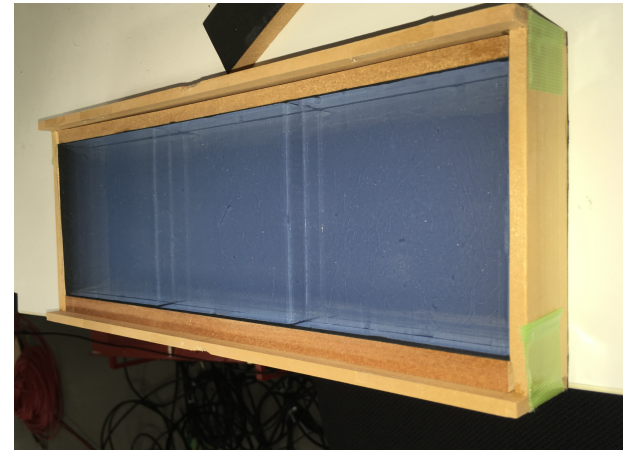
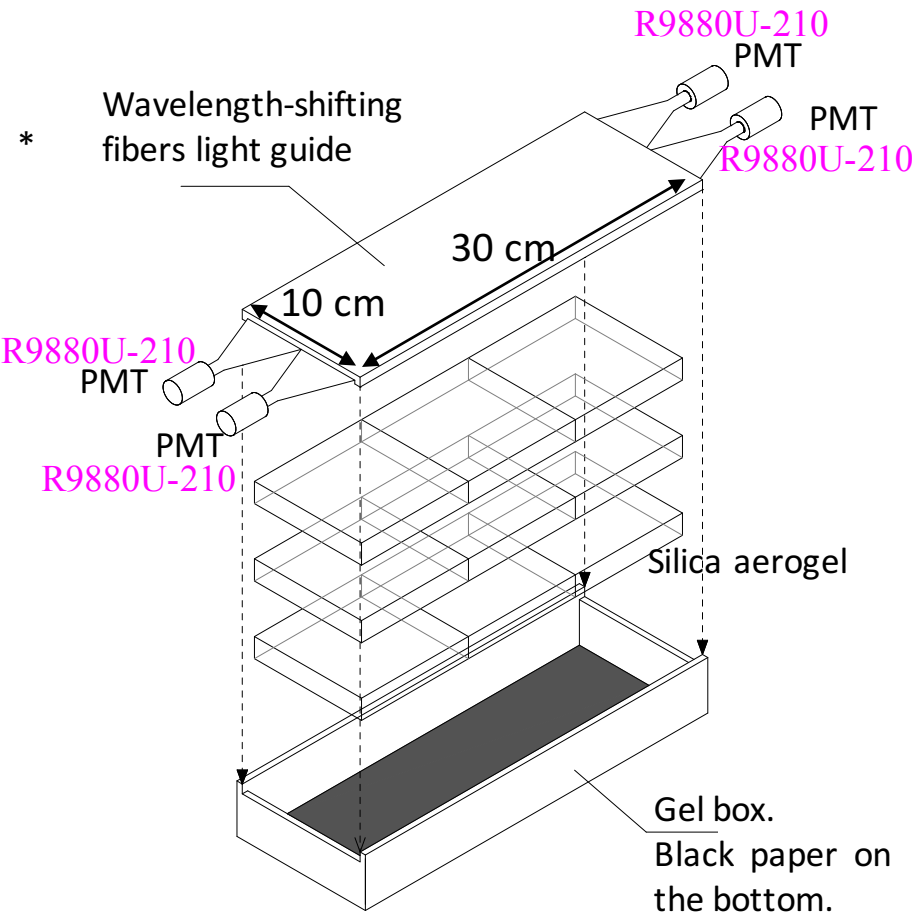


Kuraray Y-11(300)MJ

B-3(300)MJ

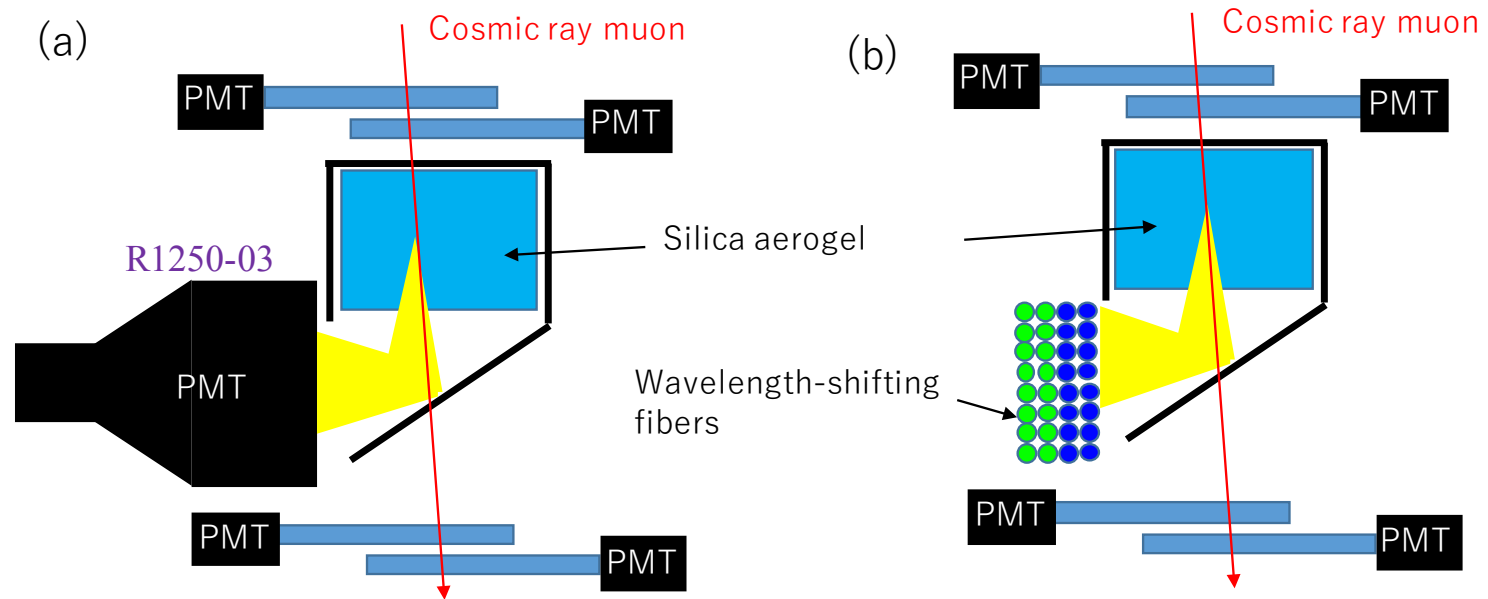
これまでの研究業績

1. ^{90}Sr Counter 開発研究



2. Basic concept an aerogel Cherenkov detector using wavelength-shifting fibers

Measurement of light collection efficiency



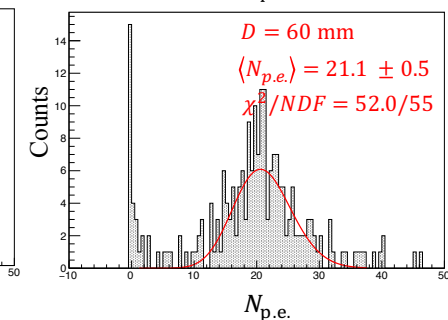
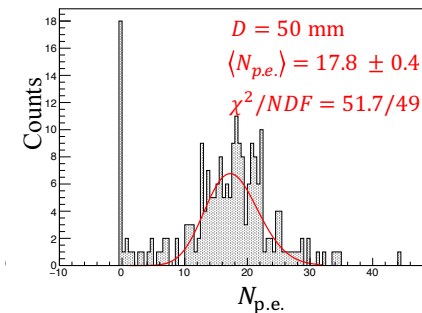
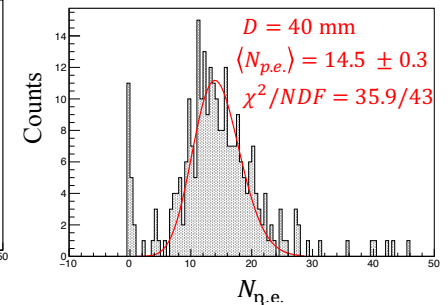
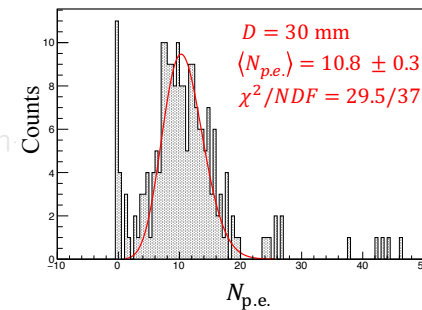
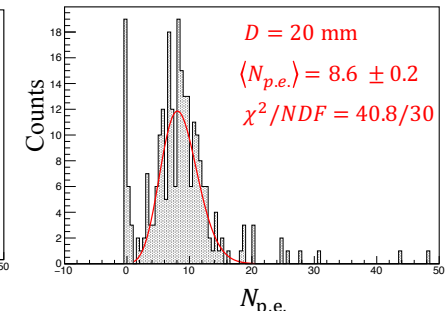
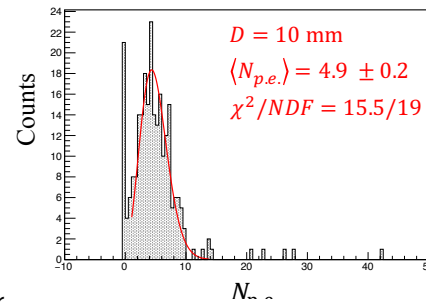
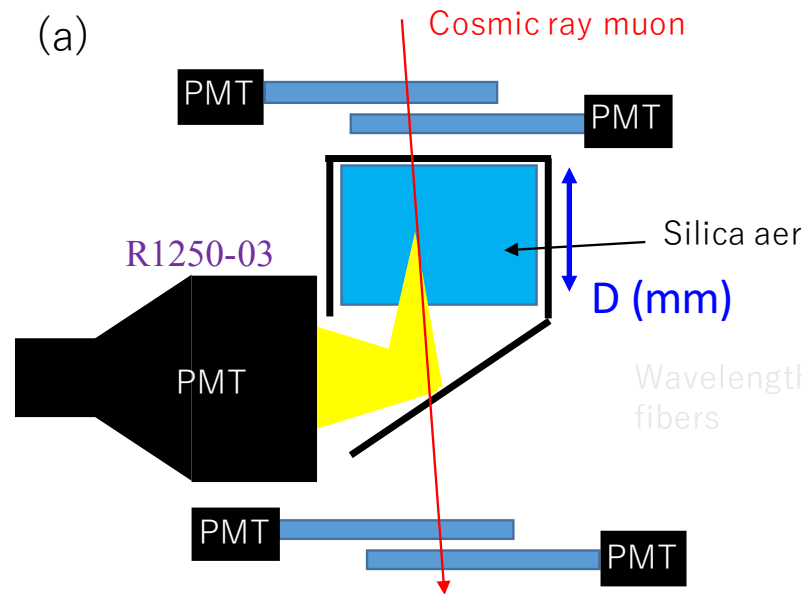
2. Basic concept an aerogel Cherenkov detector using wavelength-shifting fibers

Measurement of light collection efficiency

Poisson Function Fitting

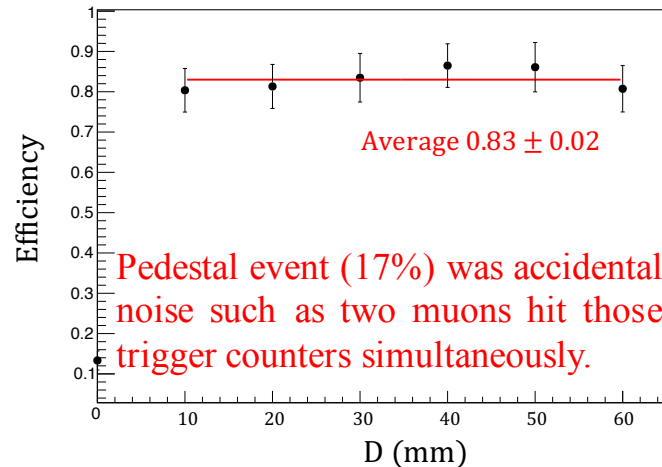
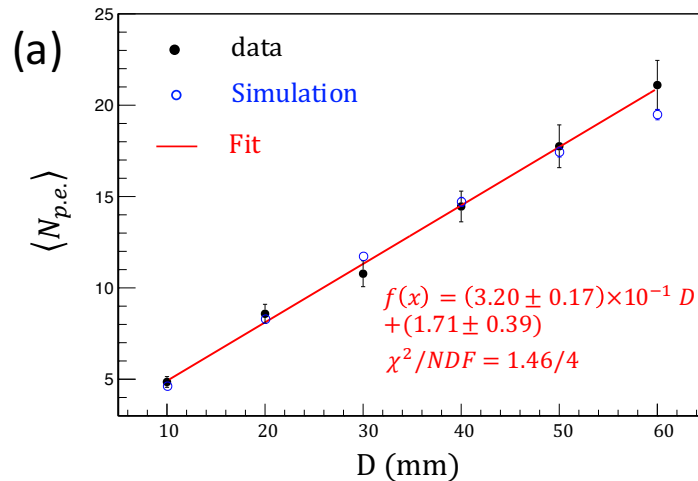
$$P(k, \nu) = e^{-\nu} \nu^k / k!$$

$$\langle N_{p.e.} \rangle (= \nu)$$



2. Basic concept an aerogel Cherenkov detector using wavelength-shifting fibers

Measurement of light collection efficiency



$$N_{p.e.} = 2\pi\alpha \int d\lambda dL \frac{\varepsilon_{QE}(\lambda) \cdot T(\lambda, L) \cdot \varepsilon_{ref}}{\lambda^2} + N_0$$

$$\varepsilon_{ref} = 0.466 \pm 0.004$$

$$N_0 = 1.42 \pm 0.03$$

$$\text{with } \chi_{min}^2 = 30.7$$

